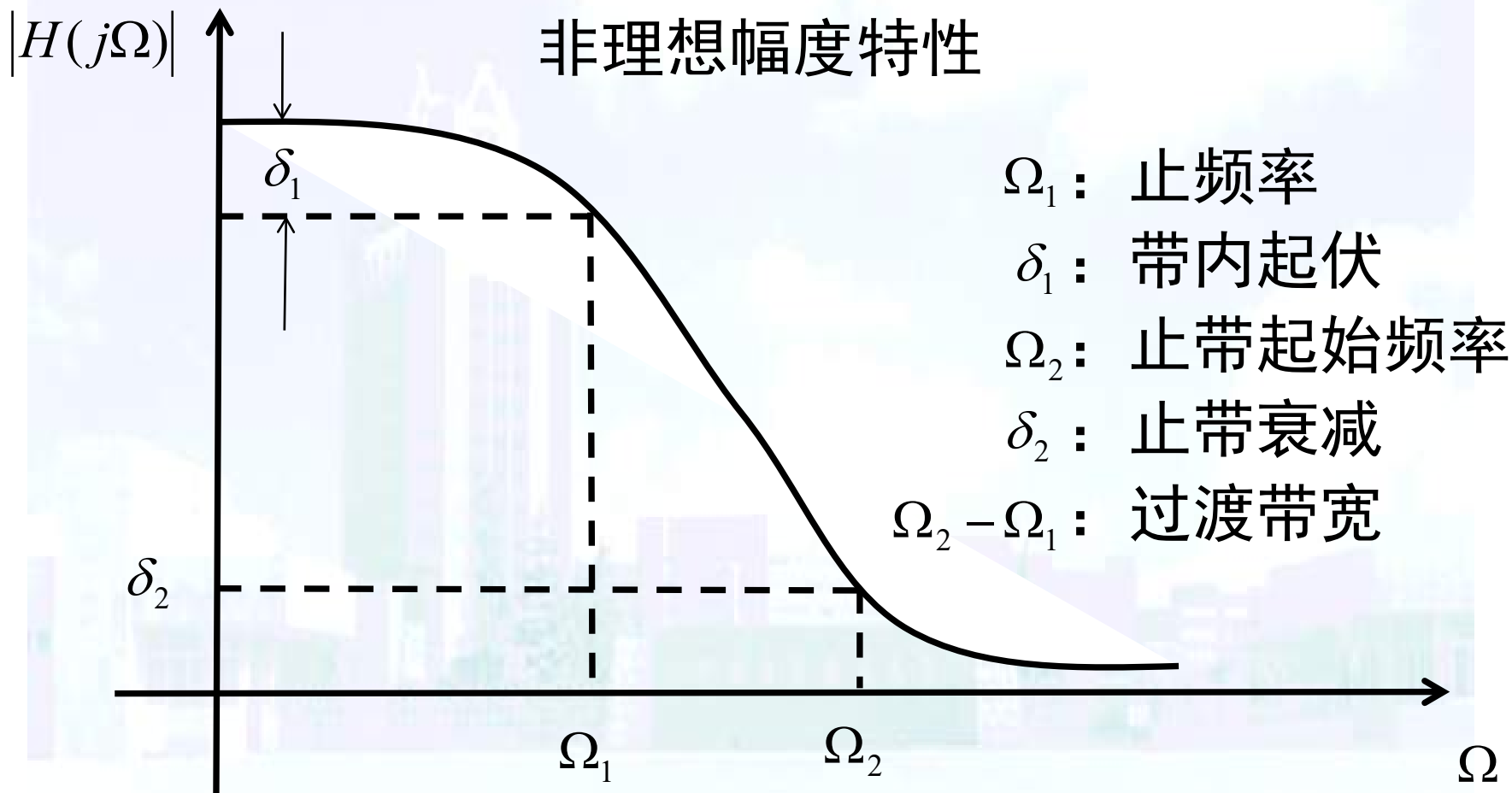


5 IIR数字滤波器设计

5.1 基本设计方法



一般设计原则：构造满足要求的 $H(z)$

IIR滤波器的基本设计思路：

- 1) 间接设计：模拟滤波器 \Leftrightarrow 数字滤波器
- 2) 直接设计：时域逼近，频域逼近

5.1 基本设计方法

间接设计：模拟滤波器方式

a) 选定模拟滤波器模型

Butterworth, Chebyshev

b) 滤波器频域参数 \rightarrow 滤波器模型参数

幅度平方函数 $A^2(\Omega) = |H_a(j\Omega)|^2$

得到系统函数 $H_a(s)$

c) 变换 $H_a(s) \rightarrow H(z)$

- 1) 冲激响应不变法
- 2) 阶跃响应不变法
- 3) 双线性变换法



5.2 模拟滤波器模型

5.2 模拟滤波器模型

一、Butterworth模型：幅度平方函数

$$A^2(\Omega) = \frac{1}{1 + \left(\frac{\Omega}{\Omega_c}\right)^{2N}}$$

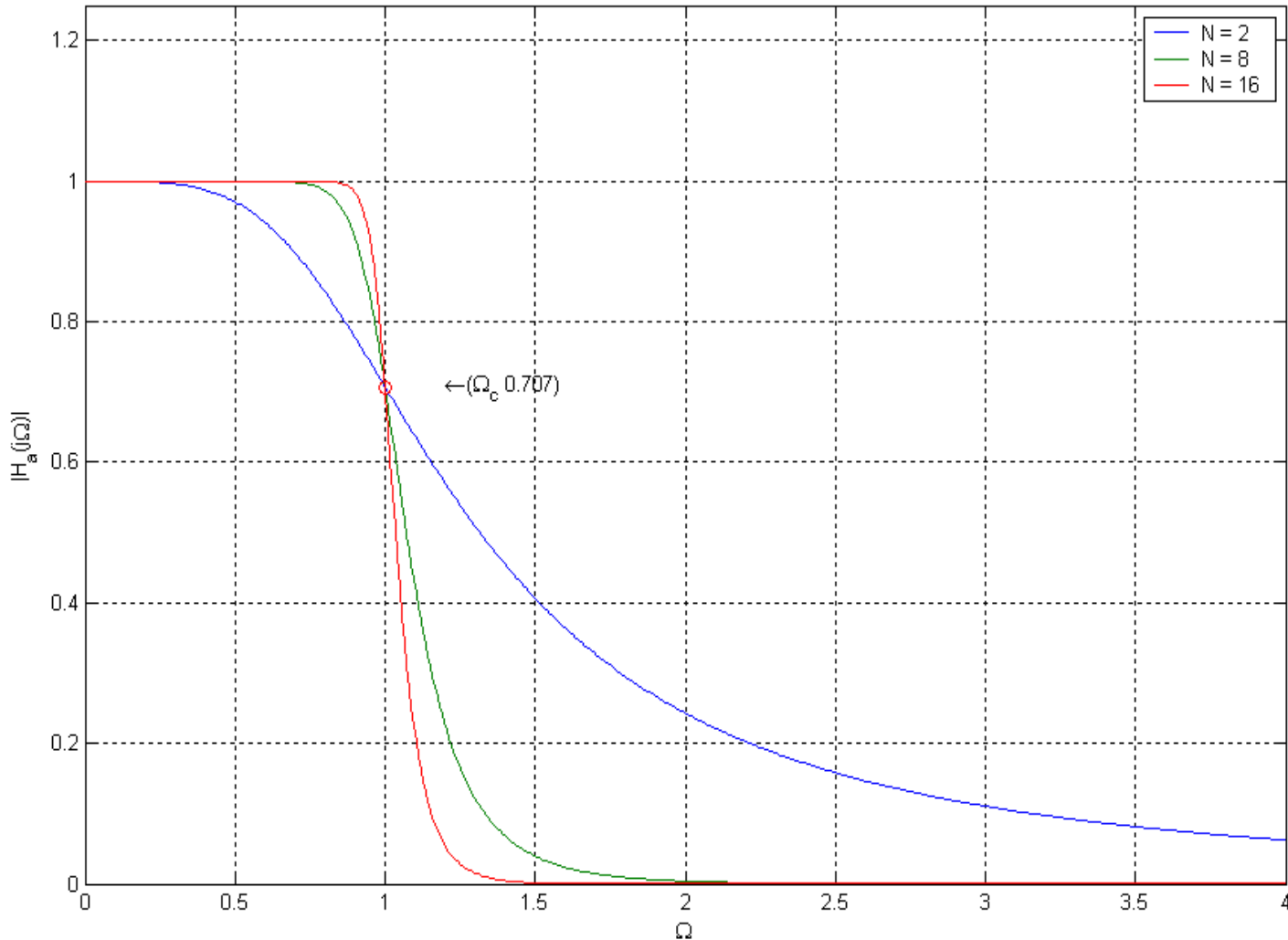
参数： 系统阶数 N

截止频率 Ω_c ，3dB带宽

$$A^2(\Omega_c) = \frac{1}{2}, \quad \text{或} \quad |H_a(j\Omega_c)| = \frac{1}{\sqrt{2}}$$

$$10 \lg |H_a(j\Omega_c)|^2 = 10 \lg \frac{1}{2} = -3.01 \text{ dB}$$

Butterworth模拟原型的幅度函数曲线随N增加而变化



- 1) 通带、止带内均为单调衰减，通带内平坦特性较好
- 2) N 较大，逼近理想的矩形频率特性

5.2 模拟滤波器模型

根据幅度平方模型，设计系统函数 $H_a(s)$

$$\left|H_a(j\Omega)\right|^2 = A^2(\Omega) = \frac{1}{1 + \left(\frac{\Omega}{\Omega_c}\right)^{2N}}$$

满足条件的系统函数 $H(s)$ 应有

$$H_a(s)H_a^*(s)\Big|_{s=j\Omega} = \frac{1}{1 + (s / j\Omega_c)^{2N}}\Big|_{s=j\Omega}$$

5.2 模拟滤波器模型

这里， $\frac{1}{1 + (s / j\Omega_c)^{2N}}$ 共有 $2N$ 个极点：

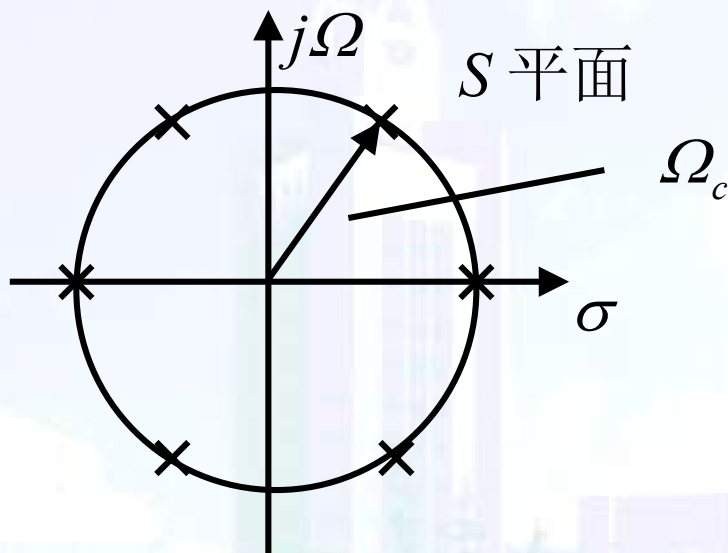
$$s_k = \Omega_c e^{j(\frac{1}{2} + \frac{2k-1}{2N})\pi}, \quad k = 1, 2, \dots, 2N$$

即， $H_a(s)$ 应满足

$$H_a(s)H_a^*(s) \Big|_{s=j\Omega} = \prod_{k=1}^{2N} \frac{1}{s - s_k} \Big|_{s=j\Omega}$$

5.2 模拟滤波器模型

极点族 s_k 的分布特征：



$$s_k = \Omega_c e^{j(\frac{1}{2} + \frac{2k-1}{2N})\pi}$$

$$k = 1, 2, \dots, 2N$$

- 1) 在Butterworth圆上，等圆周角分布；
- 2) 在左右平面各分布 N 个极点，关于虚轴对称，且在虚轴上没有极点；
- 3) 关于实轴对称。

5.2 模拟滤波器模型

为保证系统因果稳定，取前 N 个极点构成 $H_a(s)$

$$H_a(s) = \prod_{k=1}^N \frac{1}{s - s_k}, \quad s_k = \Omega_c e^{j(\frac{1}{2} + \frac{2k-1}{2N})\pi}$$

极点均位于左半平面，虚轴上无极点

5.2 模拟滤波器模型

考查 $H_a(s)$ 的幅度平方特性

$$\left|H_a(j\Omega)\right|^2 = H_a(s)H_a^*(s)\Big|_{s=j\Omega}$$

极点关于实轴对称， $h(t)$ 为实函数，
则

$$H_a^*(s) = H_a(s^*)$$

$$\therefore \left|H_a(j\Omega)\right|^2 = H_a(s)H_a(s^*)\Big|_{s=j\Omega}$$

5.2 模拟滤波器模型

$$\begin{aligned} |H_a(j\Omega)|^2 &= H_a(s)H_a(s^*) \Big|_{s=j\Omega} \\ &= H_a(j\Omega)H_a(-j\Omega) \\ &= \prod_{k=1}^N \frac{1}{j\Omega - s_k} \cdot \frac{1}{-j\Omega - s_k}, \quad s_k = \Omega_c e^{j(\frac{1}{2} + \frac{2k-1}{2N})\pi} \\ &= \frac{1}{1 + (\Omega / j\Omega_c)^{2N}} = A^2(\Omega) \end{aligned}$$

如此构造的 $H(s)$ 幅度特性服从Butterworth模型。

5.2 模拟滤波器模型

模型参数： N , Ω_c

① 系统阶数 N

通带截止频率 Ω_1 以及对应的起伏 δ_1

止带起始频率 Ω_2 以及对应的衰减 δ_2

$$N = \frac{1}{2} \cdot \frac{\lg \frac{10^{\delta_2/10} - 1}{10^{\delta_1/10} - 1}}{\lg \frac{\Omega_2}{\Omega_1}}$$

5.2 模拟滤波器模型

② 3dB衰减点 Ω_c （不是通带截止频率 Ω_1 ）

$$\Omega_c = \frac{\Omega}{(10^{\delta/10} - 1)^{1/2N}}$$

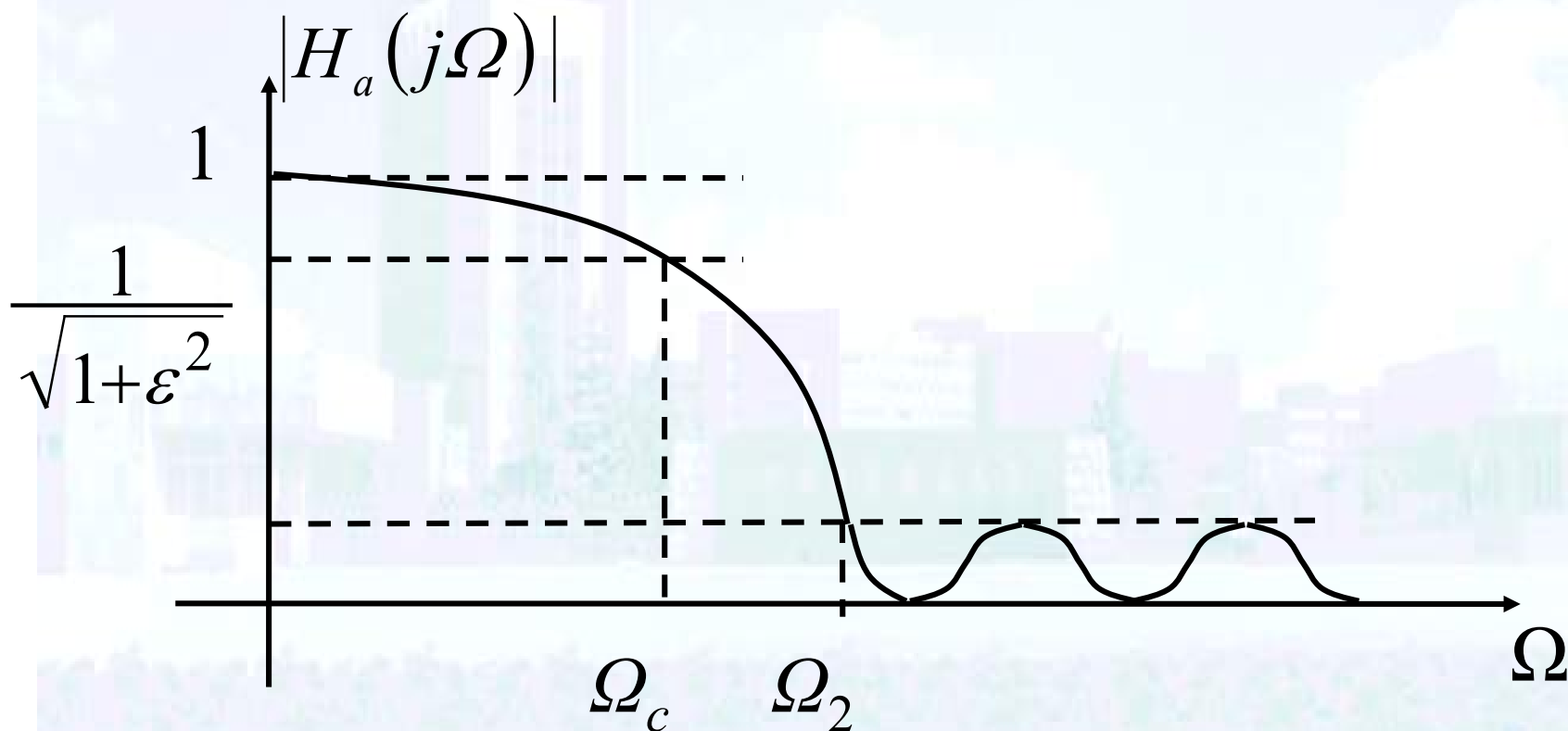
式中 Ω 是衰减 δ 所对应的频率点，可以由通带 Ω_1/δ_1 或止带 Ω_2/δ_2 分别确定。

当 N 的计算值带有小数并取整，会得到两个不同的 Ω_c 值，通常可以折中选取。

5.2 模拟滤波器模型

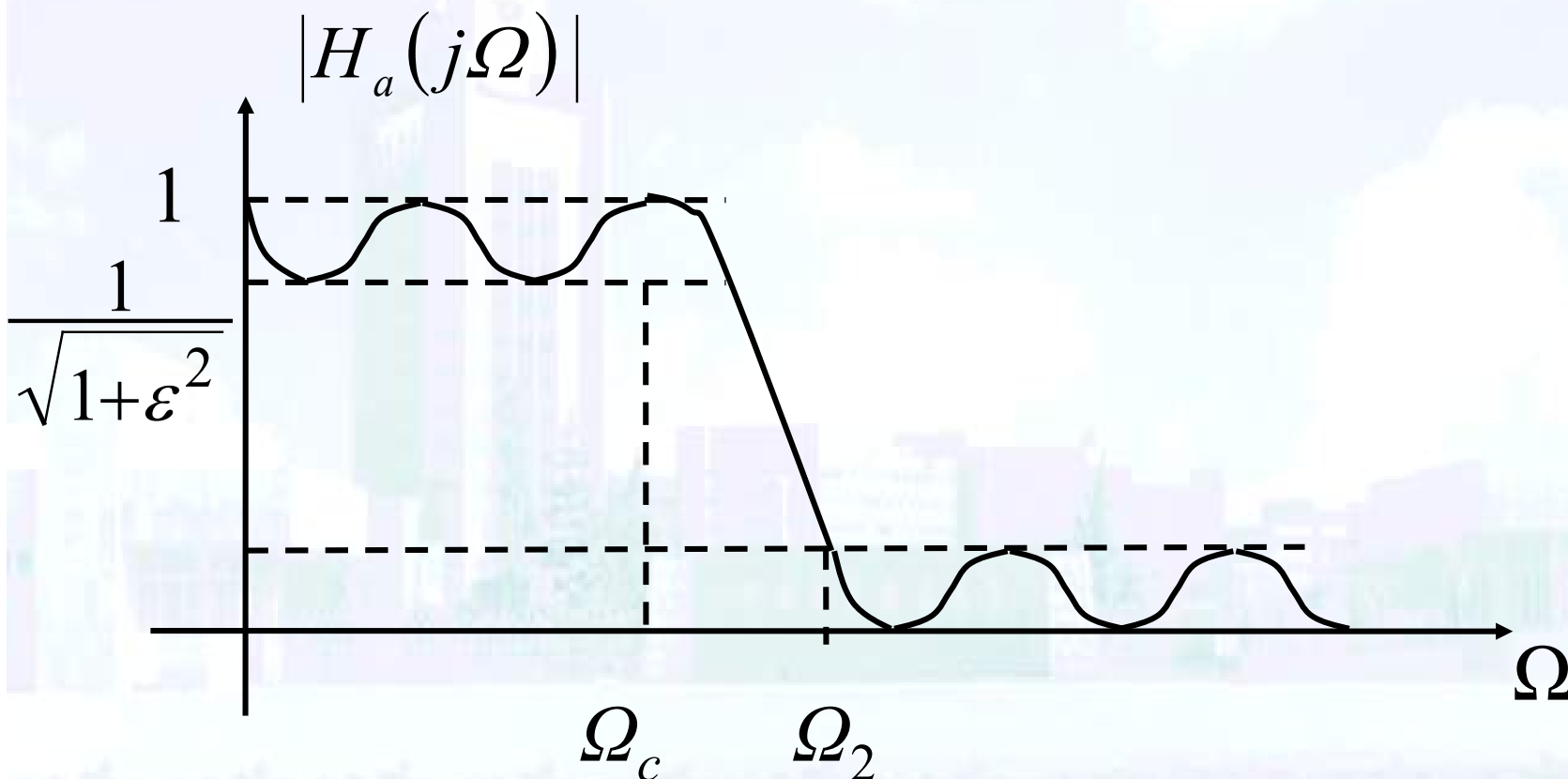
二、Chebyshev滤波器

II型：通带内单调衰减，止带等波纹波动



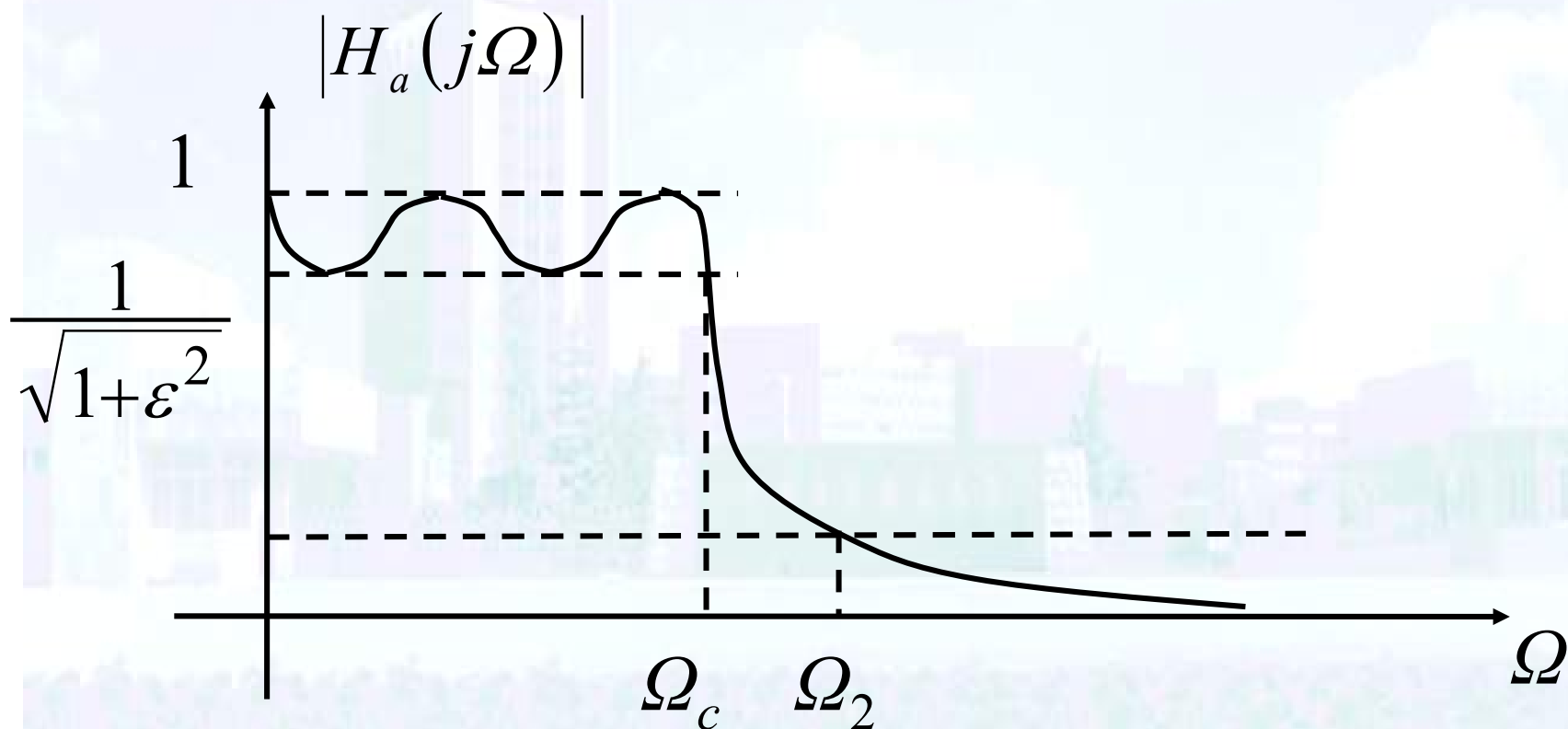
5.2 模拟滤波器模型

椭圆滤波器：通带、止带均等波纹



5.2 模拟滤波器模型

I型：通带内等波纹波动，止带单调衰减



5.2 模拟滤波器模型

幅度平方函数 $A^2(\Omega) = \frac{1}{1 + \varepsilon^2 C_N^2\left(\frac{\Omega}{\Omega_c}\right)}$

$C_N(x)$, N 阶Chebyshev多项式:

$$C_N(x) = \begin{cases} \cos(N \cos^{-1} x) & 0 < x < 1 \\ \text{ch}(N \text{ch}^{-1} x) & x \geq 1 \end{cases}$$

递推表达, $C_0(x) = 1$

$$C_1(x) = x$$

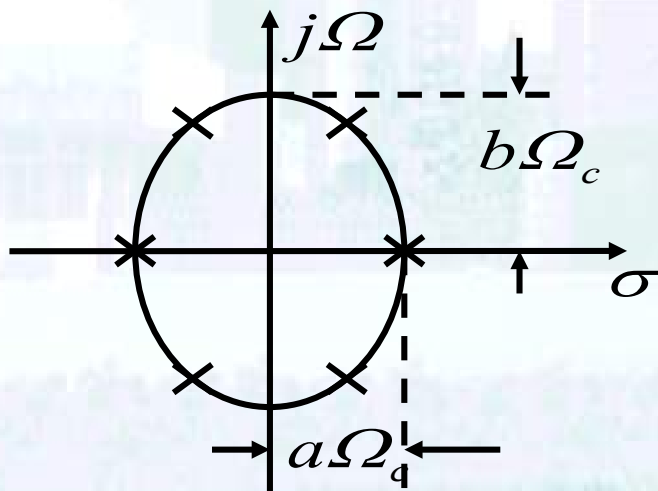
$$C_{N+1}(x) = 2xC_N(x) - C_{N-1}(x)$$

5.2 模拟滤波器模型

根据Chebyshev模型，设计系统函数 $H_a(s)$

$$|H_a(j\Omega)|^2 = A^2(\Omega) = \frac{1}{1 + \varepsilon^2 C_N^2\left(\frac{s}{j\Omega_c}\right)} \Big|_{s=j\Omega}$$

极点分布：共 $2N$ 个极点，关于实轴 σ 和虚轴 $j\Omega$ 对称分布。



$$a = \frac{1}{2} \left(\alpha^{\frac{1}{N}} - \alpha^{-\frac{1}{N}} \right)$$

$$b = \frac{1}{2} \left(\alpha^{\frac{1}{N}} + \alpha^{-\frac{1}{N}} \right)$$

$$\alpha = \frac{1}{\varepsilon} + \sqrt{\frac{1}{\varepsilon^2} + 1}$$

5.2 模拟滤波器模型

取左半平面的 N 个极点，构成 $H_a(s)$

$$H_a(s) = \prod_{k=1}^N \frac{1}{s - s_k}$$

$$s_k = (-a \sin \theta_k + jb \cos \theta_k) \Omega_c$$

$$\theta_k = \frac{2k-1}{2N} \pi \quad k = 1, 2, \dots, N$$

系统稳定、因果

5.2 模拟滤波器模型

模型参数： ε ， Ω_c ， N

①根据通带波纹 δ_1 计算 ε

$$\delta = 20 \lg \frac{|H_a(j\Omega)|_{\max}}{|H_a(j\Omega)|_{\min}} = 10 \lg(1 + \varepsilon^2)$$

$$\Rightarrow \varepsilon = (10^{\delta/10} - 1)^{1/2}$$

②根据设计要求指定通带截止频率 $\Omega_c = \Omega_1$

与Butterworth不同， Ω_c 所对应的衰减点，不一定是3 dB点

③根据止带衰减 δ_2 和止带起始频率 Ω_2 计算 N

5.2 模拟滤波器模型

$$N = \frac{\text{ch}^{-1} \left[\frac{1}{\varepsilon} \sqrt{\frac{1}{A^2(\Omega_2)} - 1} \right]}{\text{ch}^{-1} \left(\frac{\Omega_2}{\Omega_1} \right)}$$

试算法： Ω_2 ， Ω_1 ， ε 为固定值，取不同的 N 值进行试算，直到满足止带衰减条件

$$-20 \lg |H_a(j\Omega_2)| \geq \delta_2$$

$$20 \lg |H_a(j\Omega_2)| \approx -20 \lg \varepsilon - 20 \lg C_N \left(\frac{\Omega_2}{\Omega_1} \right)$$



5.3 基本变换方法

5.3 基本变换方法

一、冲激响应不变法

定义： $H_a(s)$ 模拟滤波器系统函数
 $h_a(t)$ 模拟滤波器冲激响应

准则： $h(n) = h_a(t) \Big|_{t=nT}$

$$H(z) = Z[h(n)] = Z\left[h_a(t) \Big|_{t=nT}\right]$$

思路： $H_a(s) \rightarrow h_a(t) \rightarrow h(n) \rightarrow H(z)$

5.3 基本变换方法

将 $H_a(s)$ 用部分分式表示：

$$H_a(s) = \sum_{k=1}^N \frac{A_k}{s - s_k}$$

根据拉氏变换的性质，得到相应的冲激响应为：

$$h_a(t) = \sum_{k=1}^N A_k e^{s_k t} u(t)$$

5.3 基本变换方法

$$\begin{aligned} \text{则 } h(n) &= h_a(nT) \\ &= \sum_{k=1}^N A_k \left(e^{s_k T} \right)^n u(n) \end{aligned}$$

$$\begin{aligned} \therefore H(z) &= \sum_{n=-\infty}^{\infty} h(n) z^{-n} = \sum_{n=0}^{\infty} \sum_{k=1}^N A_k \left(e^{s_k T} z^{-1} \right)^n \\ &= \sum_{k=1}^N A_k \sum_{n=0}^{\infty} \left(e^{s_k T} z^{-1} \right)^n \end{aligned}$$

$$= \sum_{k=1}^N \frac{A_k}{1 - e^{s_k T} z^{-1}}$$

$H(z)$ 所有参数
用 $H_a(s)$ 参数表达

5.3 基本变换方法

$$H_a(s) \rightarrow H(z) = \sum_{k=1}^N \frac{A_k}{1 - e^{s_k T} z^{-1}}$$

$H_a(s)$ 到 $H(z)$ 的映射关系:

- ① $H_a(s)$ 的极点 s_k , $H(z)$ 的对应极点 $z_k = e^{s_k T}$
- ② 若 $H_a(s)$ 是稳定的, 则 $H(z)$ 也是稳定的
位于 s 左半平面的极点映射到 z 平面单位圆内
- ③ $H_a(s)$ 的零点与 $H(z)$ 的零点没有明显的对应关系

5.3 基本变换方法

$H(z)$ 与 $H_a(s)$ 之间的频率响应关系

$$\therefore h(n) = h_a(t) \Big|_{t=nT}$$

$$\therefore H(e^{j\Omega T}) = \frac{1}{T} \sum_{m=-\infty}^{\infty} H_a[j(\Omega - m\Omega_s)]$$

若 $H_a(s)$ 频带没有限制，存在混叠现象

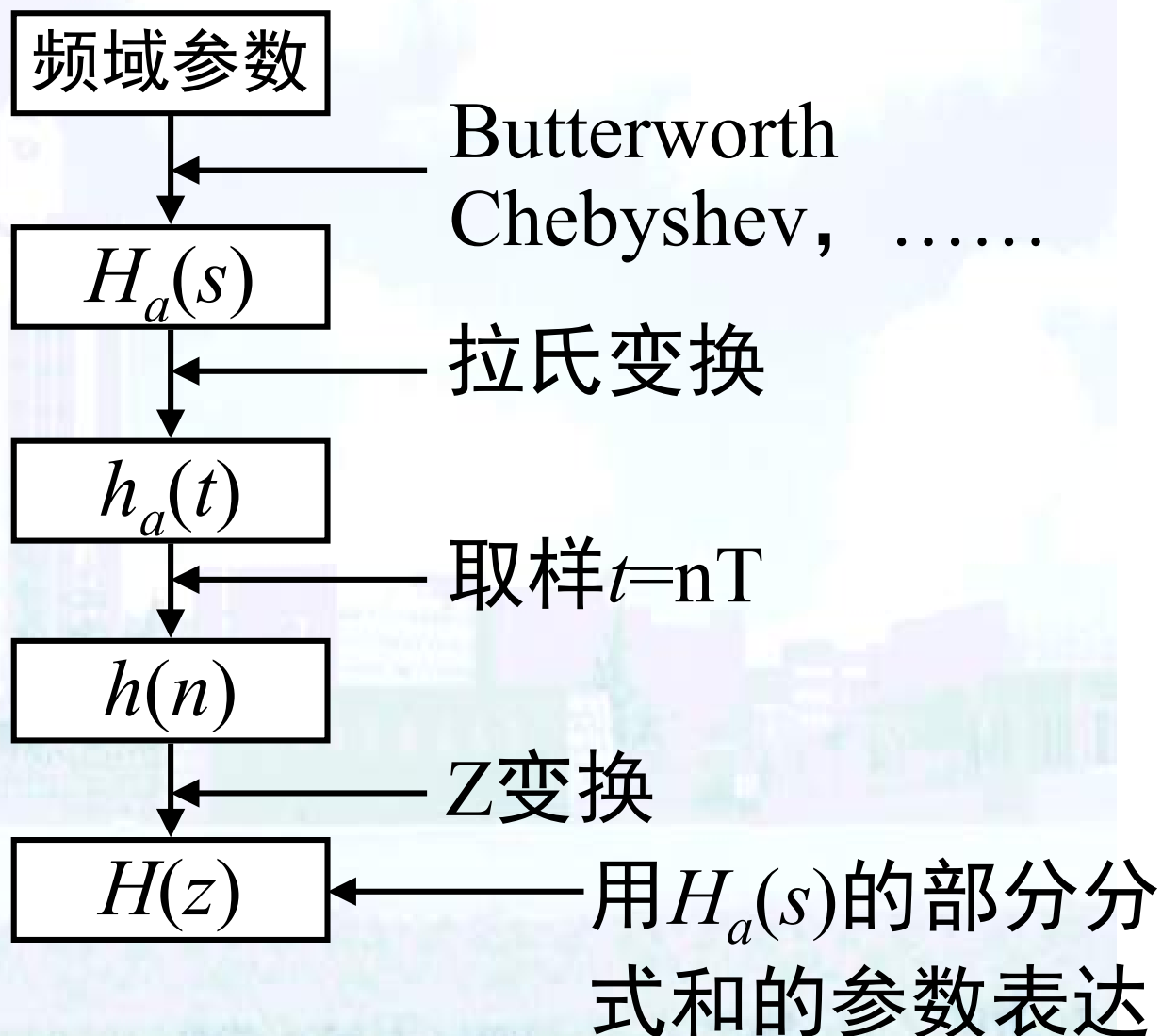
当 $H_a(s)$ 具有锐截止特性，且取样率足够高，混叠现象可以忽略：

$$H(e^{j\Omega T}) \approx \frac{1}{T} H_a(j\Omega) \quad |\Omega| \leq \frac{\pi}{T}$$

- 1) 频域为线性变换关系
- 2) 适用于低通和带通滤波器

5.3 基本变换方法

基本流程



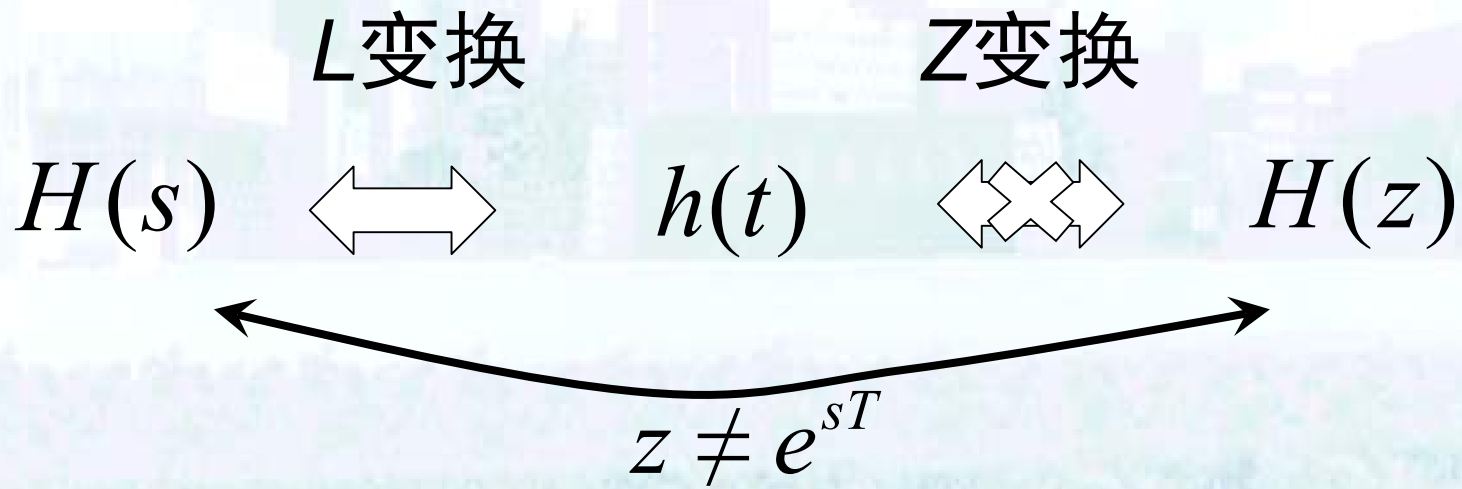
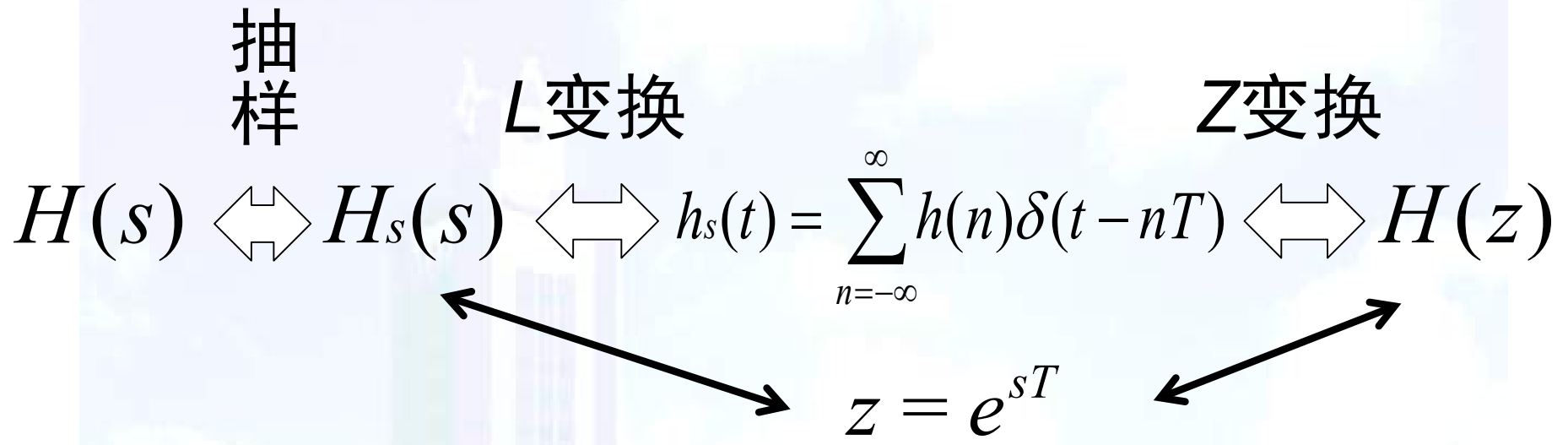
5.3 基本变换方法

□ Z 变换与拉氏变换

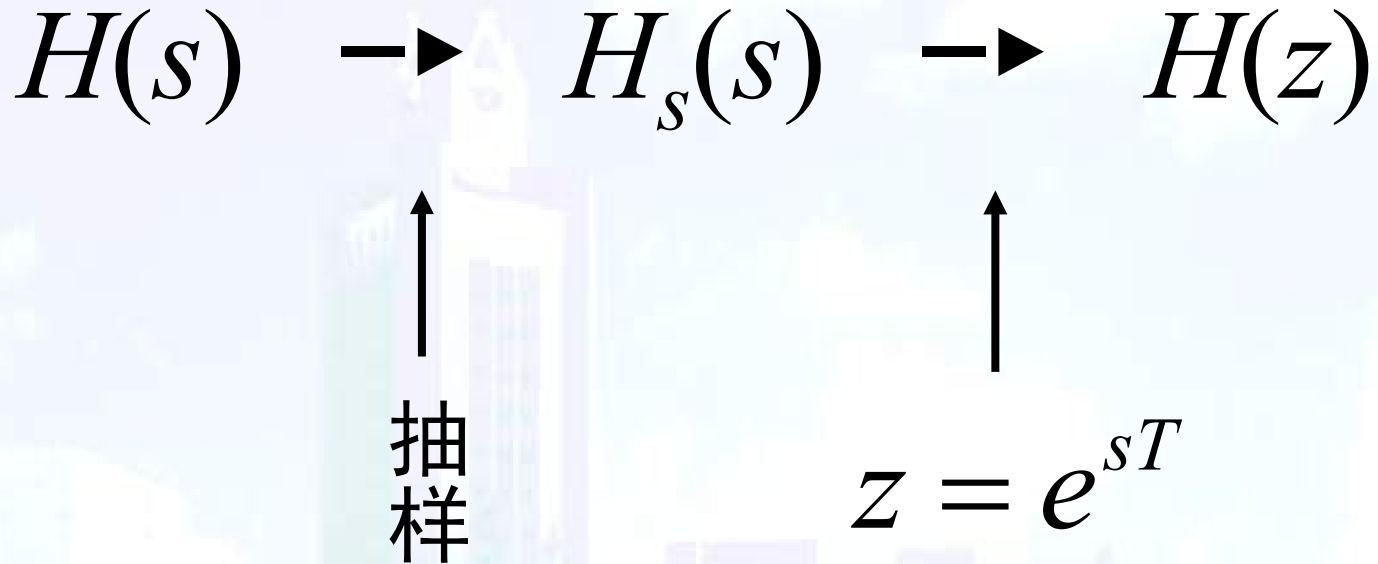
$$z = e^{sT} \quad \text{或} \quad s = \frac{1}{T} \ln z$$

$$H(s) \quad \longleftrightarrow \quad ? \quad \longleftrightarrow \quad H(z)$$
$$s = \frac{1}{T} \ln z$$

5.3 基本变换方法



5.3 基本变换方法



结论：对一般的 $H(s)$ ，不存在这样的变换关系

$$z = e^{sT} \text{ 使得 } H(s) \longrightarrow H(z)$$

5.3 基本变换方法

二、阶跃响应不变法

定义： $y_s(n)$ ，数字滤波器的单位阶跃响应
 $y_{sa}(t)$ ，模拟滤波器的单位阶跃响应

准则： $y_s(n) = y_{sa}(t) \Big|_{t=nT}$

$$Z[y_s(n)] = H(z) \cdot \frac{1}{1-z^{-1}}, \quad \frac{1}{1-z^{-1}} = Z[u(n)]$$

$$H(z) = (1-z^{-1})Z[y_s(n)]$$

思路： $H_a(s) \rightarrow y_{sa}(t) \rightarrow y_s(n) \rightarrow Y_s(z) \rightarrow H(z)$

5.3 基本变换方法

$$Y_{sa}(s) = L[y_{sa}(t)] = H_a(s) \cdot \frac{1}{s} \quad \frac{1}{s} = L[u(t)]$$

设 $H_a(s)$ 可以表达为部分分式和 $H_a(s) = \sum_{k=1}^N \frac{A_k}{s - s_k}$

则
$$\frac{1}{s} H_a(s) = \sum_{k=1}^N \frac{A_k}{s(s - s_k)}$$

$$= \sum_{k=1}^N \frac{A_k}{s_k} \left(\frac{1}{s - s_k} - \frac{1}{s} \right)$$

5.3 基本变换方法

由拉氏变换的性质：

$$y_{sa}(t) = L^{-1} \left[\frac{1}{s} H_a(s) \right] = \sum_{k=1}^N \frac{A_k}{s_k} (e^{s_k t} - 1) \mu(t)$$

$$Z[y_{sa}(t)|_{t=nT}] = \sum_{n=0}^{\infty} \sum_{k=1}^N \frac{A_k}{s_k} (e^{s_k nT} - 1) z^{-n}$$

$$= \sum_{k=1}^N \frac{A_k}{s_k} \sum_{n=0}^{\infty} (e^{s_k nT} \cdot z^{-n} - z^{-n})$$

$$= \sum_{k=1}^N \frac{A_k}{s_k} \left(\frac{1}{1 - e^{s_k T} \cdot z^{-1}} - \frac{1}{1 - z^{-1}} \right)$$

5.3 基本变换方法

$$Y_s(z) = Z[y_s(n)] = H(z) \cdot \frac{1}{1 - z^{-1}}$$

$$\therefore H(z) = (1 - z^{-1})Z[y_s(n)]$$

$$= \sum_{k=1}^N \frac{A_k}{S_k} \cdot \frac{e^{S_k T} - 1}{z - e^{S_k T}}$$

系统函数极点分布与冲激响应不变法相似

5.3 基本变换方法

频率响应：

$$H(e^{j\Omega T}) = (1 - e^{-j\Omega T}) \frac{1}{T} \sum_{m=-\infty}^{\infty} \frac{1}{j(\Omega - m\Omega_s)} H_a[j(\Omega - m\Omega_s)]$$

阶跃响应不变法仍有频谱混叠问题，但幅度响应随 Ω 的增加，有 6dB/倍频程的衰减。

5.3 基本变换方法

若 $H_a(j\Omega)$ 是带限的，则

$$H(e^{j\Omega T}) = \frac{1 - e^{-j\Omega T}}{j\Omega T} H_a(j\Omega)$$

与原型滤波器相比，频率响应有畸变

当 $\Omega T \ll 1$ 时，

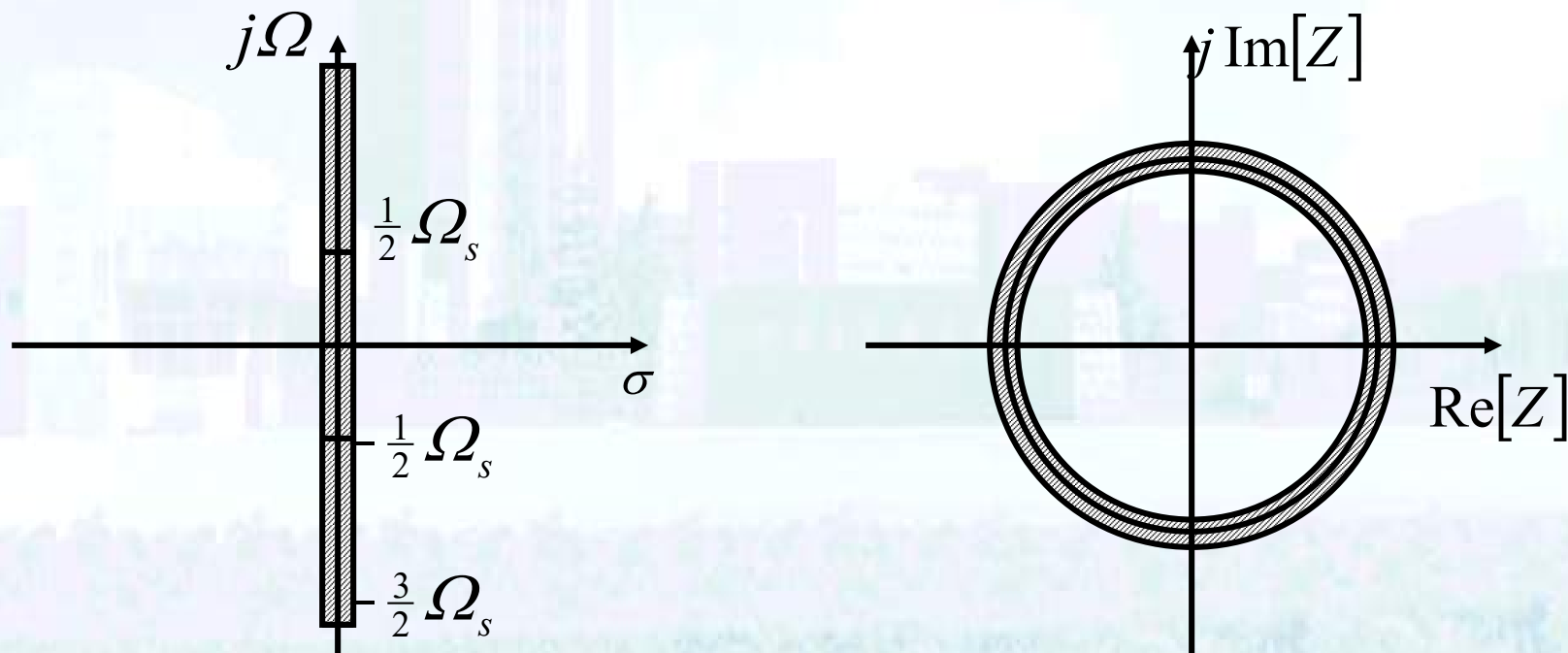
$$H(e^{j\Omega T}) \approx H_a(j\Omega)$$

在低频端有较好地近似

5.3 基本变换方法

频谱混叠现象：冲激响应不变法和阶跃响应不变法均建立在时域取样基础上

原因：经过取样，S平面的虚轴被周期性地分段映射到Z平面的单位圆上

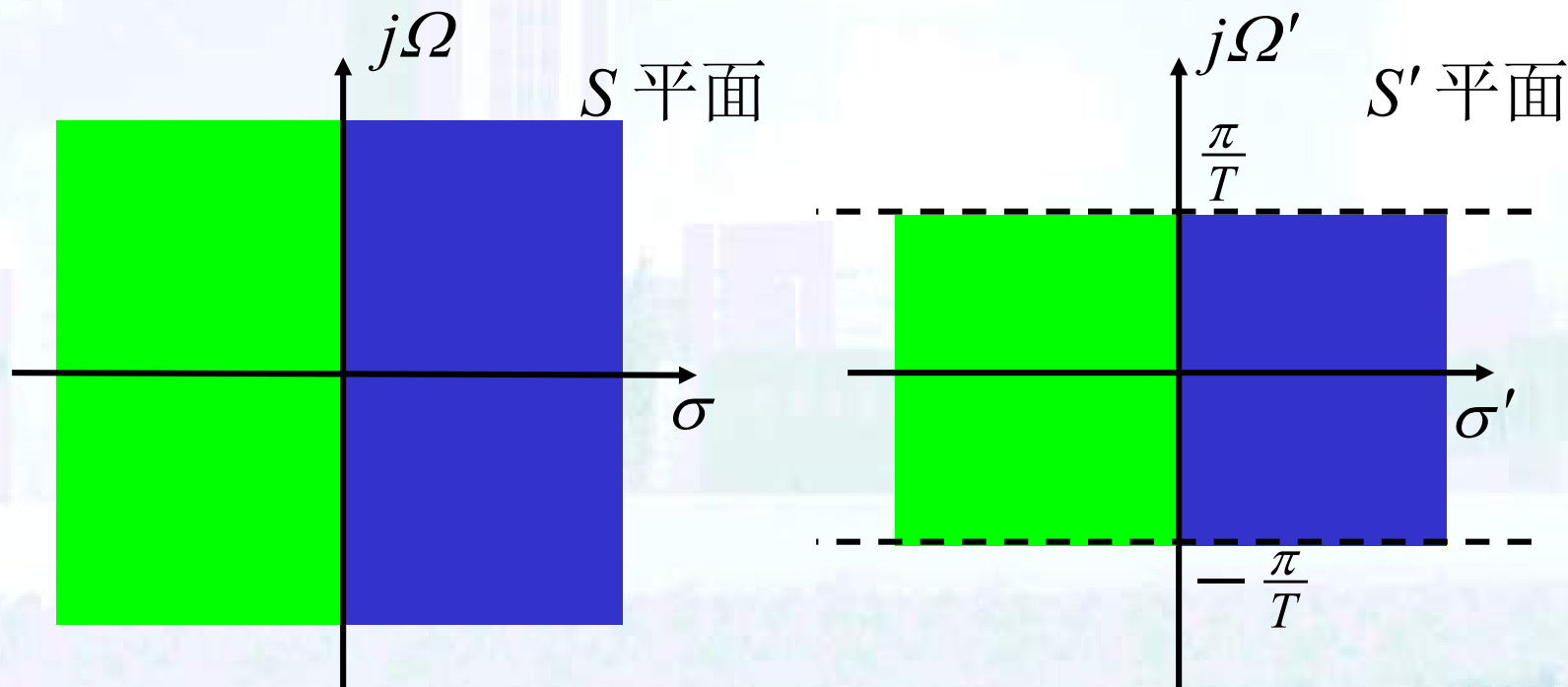


5.3 基本变换方法

三、双线性变换法

避免变换引起的频谱混迭

S 平面全部 $\rightarrow S'$ 平面有限区域 $\rightarrow Z$ 平面



5.3 基本变换方法

完成 S 平面 $\rightarrow S'$ 平面的一种映射关系:

$$s = C \frac{1 - e^{-s'T}}{1 + e^{-s'T}} \quad C \text{ 为任意常数}$$

$$\Omega = C \cdot \operatorname{tg} \frac{\Omega' T}{2}$$

S 左半平面 $\longleftrightarrow S'$ 左半平面

S 右半平面 $\longleftrightarrow S'$ 右半平面

$$-\infty < \Omega < +\infty \longleftrightarrow -\frac{\pi}{T} < \Omega' < \frac{\pi}{T}$$

5.3 基本变换方法

S' 平面映射到 Z 平面

$$z = e^{s'T}$$

S' 平面上的窄区间 $-\frac{\pi}{T} < \Omega' < \frac{\pi}{T}$ 被映射到整个 Z 平面上

则，原 S 平面与 Z 平面最终的映射关系为：

$$s = C \frac{1 - z^{-1}}{1 + z^{-1}} \quad \text{或} \quad z = \frac{C + s}{C - s}$$

5.3 基本变换方法

以 $s = \sigma + j\Omega$ 代入变换关系：

$$|z| = \sqrt{\frac{(C + \sigma)^2 + \Omega^2}{(C - \sigma)^2 + \Omega^2}}, \quad \Omega = C \cdot \operatorname{tg} \frac{\omega}{2}$$

1) $\sigma = 0, |z| = 1$: $j\Omega \rightarrow Z$ 平面单位圆上

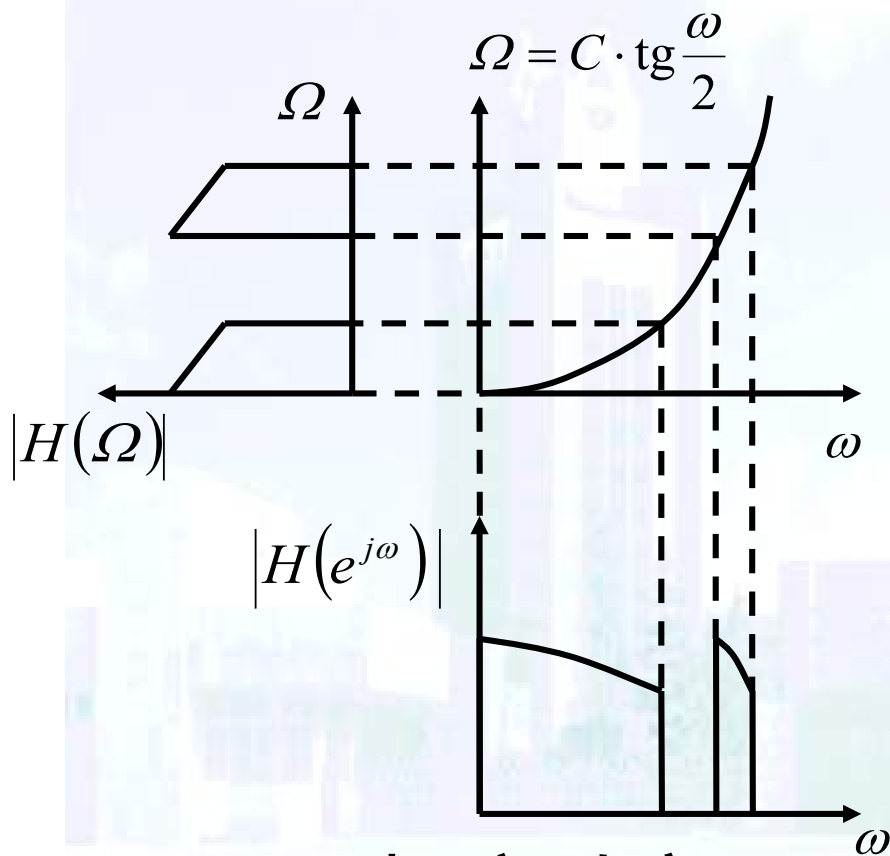
2) $\sigma < 0, |z| < 1$: S 左半平面 $\rightarrow Z$ 平面单位圆内

3) $\sigma > 0, |z| > 1$: S 右半平面 $\rightarrow Z$ 平面单位圆外

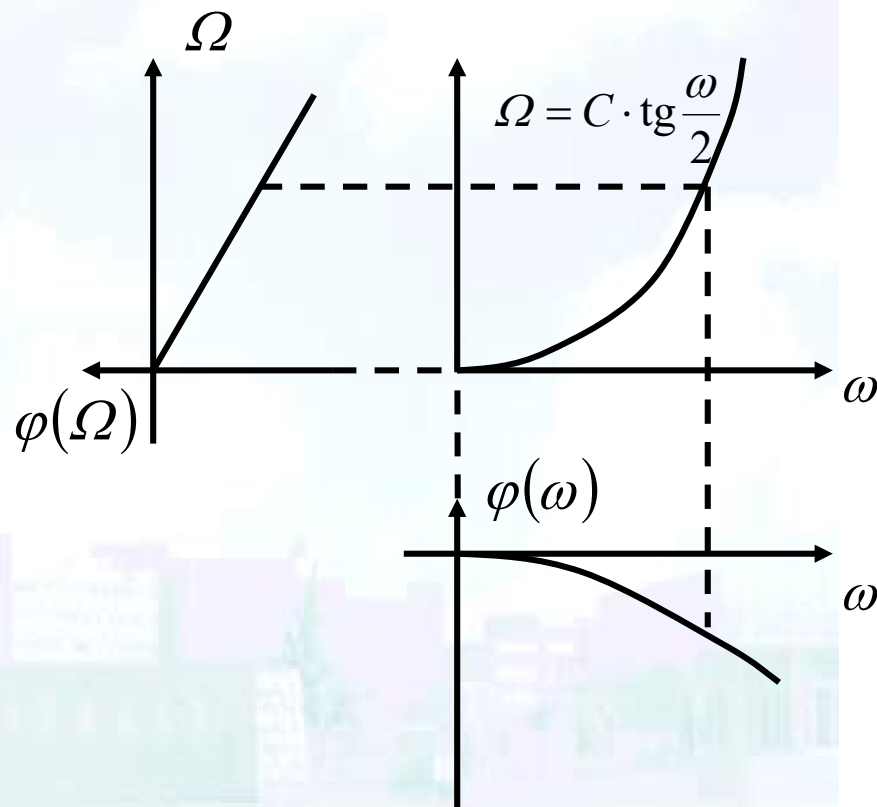
双线性变换的性质

- 单值映射
- 模拟滤波器 \rightarrow 唯一的数字滤波器
- 极点数目不变
- 消除频谱混叠
- 幅度响应与相位响应非线性畸变

5.3 基本变换方法



幅度畸变



相位畸变

5.4 设计实例

5.4 设计实例

一、 Butterworth滤波器

滤波器模型： Butterworth

变换方法： 冲激响应不变法

通带截止频率 $f_1=1.5\text{kHz}$ ， 带内起伏 $\delta_1=1\text{dB}$

止带起始频率 $f_2=4\text{kHz}$ ， 带内衰减 $\delta_2=15\text{dB}$

取样频率 $f_s=20\text{kHz}$ ， $T=5\times 10^{-5}\text{ s}$

*通带截止频率 Ω_1 不是Butterworth截止频率 Ω_c ，
 Ω_c 为3 dB带宽*

5.4 设计实例

解：1) 确定模拟滤波器指标

按要求，数字滤波器的频率响应满足，

通带
$$20\lg \frac{|H(e^{j0})|}{|H(e^{j\Omega_1 T})|} \leq \delta_1$$

止带
$$20\lg \frac{|H(e^{j0})|}{|H(e^{j\Omega_2 T})|} \geq \delta_2$$

当 $|\Omega| < \frac{\pi}{T}$ 时有（忽略频谱混叠的影响）

$$H(e^{j\Omega T}) \approx \frac{1}{T} H_a(j\Omega)$$

5.4 设计实例

代入上式，得模拟滤波器应满足的指标，

$$20\lg \frac{|H_a(j0)|}{|H_a(j\Omega_1)|} \leq \delta_1 \quad \Omega_1 = 2\pi f_1$$

$$20\lg \frac{|H_a(j0)|}{|H_a(j\Omega_2)|} \geq \delta_2 \quad \Omega_2 = 2\pi f_2$$

5.4 设计实例

2) 计算模型参数 (Butterworth)

$$|H_a(j\Omega)| = \left[\frac{1}{1 + \left(\frac{\Omega}{\Omega_c}\right)^{2N}} \right]^{\frac{1}{2}} \quad |H_a(j0)| = 1$$

$$\therefore 20 \lg \frac{|H_a(j0)|}{|H_a(j\Omega_1)|} = 10 \lg \left[1 + \left(\frac{\Omega_1}{\Omega_c}\right)^{2N} \right] \leq \delta_1$$

$$\therefore 20 \lg \frac{|H_a(j0)|}{|H_a(j\Omega_2)|} = 10 \lg \left[1 + \left(\frac{\Omega_2}{\Omega_c}\right)^{2N} \right] \geq \delta_2$$

5.4 设计实例

对不等式取等号以求解参数 N , Ω_c

$$10\lg\left[1 + \left(\frac{\Omega_1}{\Omega_c}\right)^{2N}\right] = \delta_1 \quad 10\lg\left[1 + \left(\frac{\Omega_2}{\Omega_c}\right)^{2N}\right] = \delta_2$$

解得

$$N = \frac{1}{2} \cdot \frac{\lg \frac{10^{\delta_2/10} - 1}{10^{\delta_1/10} - 1}}{\lg \frac{\Omega_2}{\Omega_1}}$$

数值计算:

$$\delta_1 = 1, \quad \delta_2 = 15, \quad \Omega_1 = 2\pi \times 1.5 \times 10^3, \quad \Omega_2 = 2\pi \times 4 \times 10^3$$

得 $N = 2.43$, 取 $N = 3$

5.4 设计实例

确定 Ω_c ：可分别按通带要求或止带要求，如果取 $N=2.43$ ，则两种计算结果相同

$$\textcircled{1} \text{ 按通带, } 10\lg \left[1 + \left(\frac{\Omega_1}{\Omega_c} \right)^{4.86} \right] = 1$$

$$\text{解得 } \Omega_c = 1.98 k \cdot 2\pi$$

$$\textcircled{2} \text{ 按止带, } 10\lg \left[1 + \left(\frac{\Omega_2}{\Omega_c} \right)^{4.86} \right] = 15$$

$$\text{解得 } \Omega_c = 1.98 k \cdot 2\pi$$

5.4 设计实例

如果取 $N=3$ ，则两种计算结果不同：

① 按通带， $10\lg\left[1+\left(\frac{\Omega_1}{\Omega_c}\right)^6\right]=1$ 解得 $\Omega_c = 1.879 k \cdot 2\pi$

在止带起始处： $10\lg\left[1+\left(\frac{4}{1.879}\right)^6\right]=19.73 > 15$

② 按止带， $10\lg\left[1+\left(\frac{\Omega_2}{\Omega_c}\right)^6\right]=15$ 解得 $\Omega_c = 2.26 k \cdot 2\pi$

在通带截止频率处： $10\lg\left[1+\left(\frac{1.5}{2.26}\right)^6\right]=0.355 < 1$

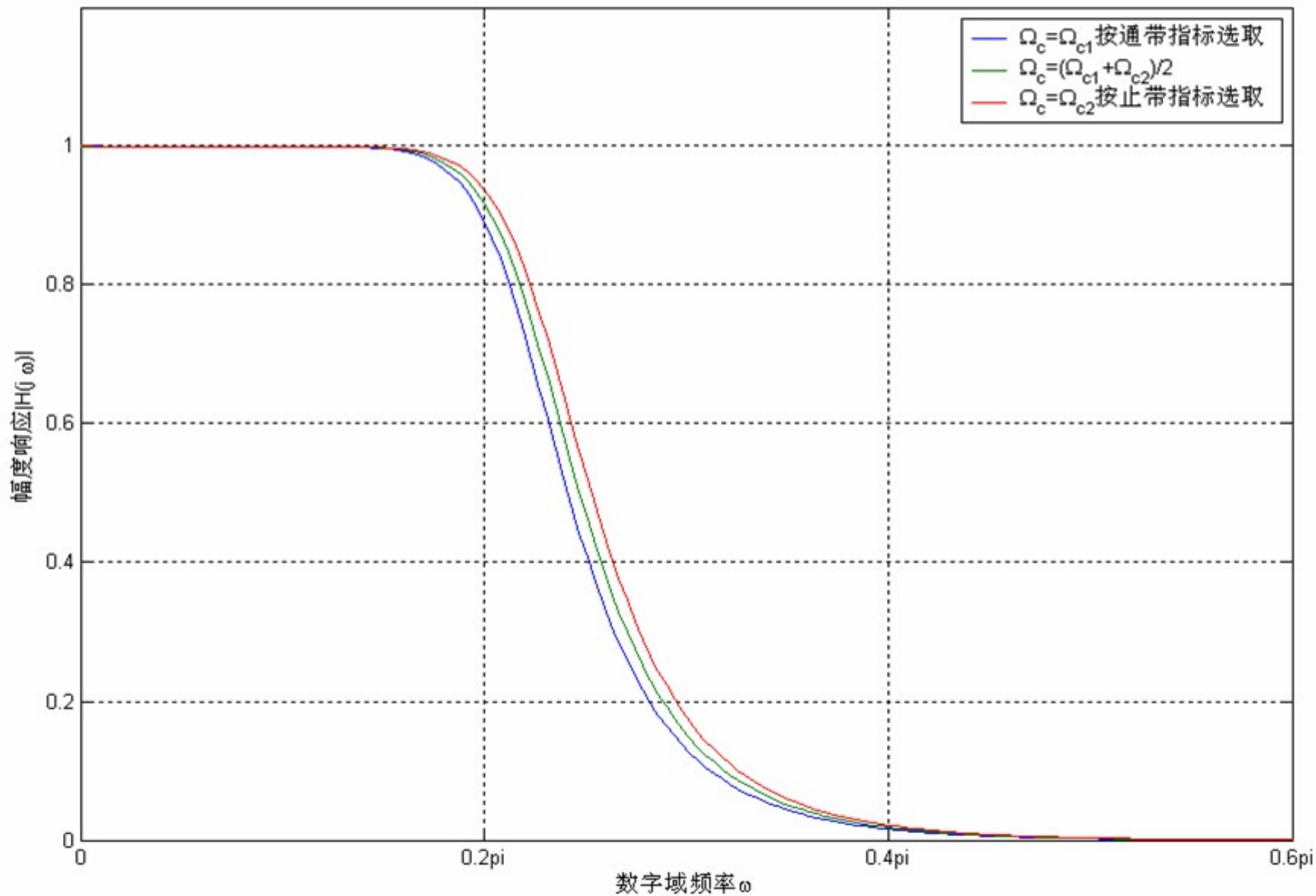
5.4 设计实例

为使两边均有裕量，取中间值， $\Omega_c = 2k \cdot 2\pi$

则，通带 $10\lg\left[1 + \left(\frac{1.5}{2}\right)^6\right] = 0.711 < 1$

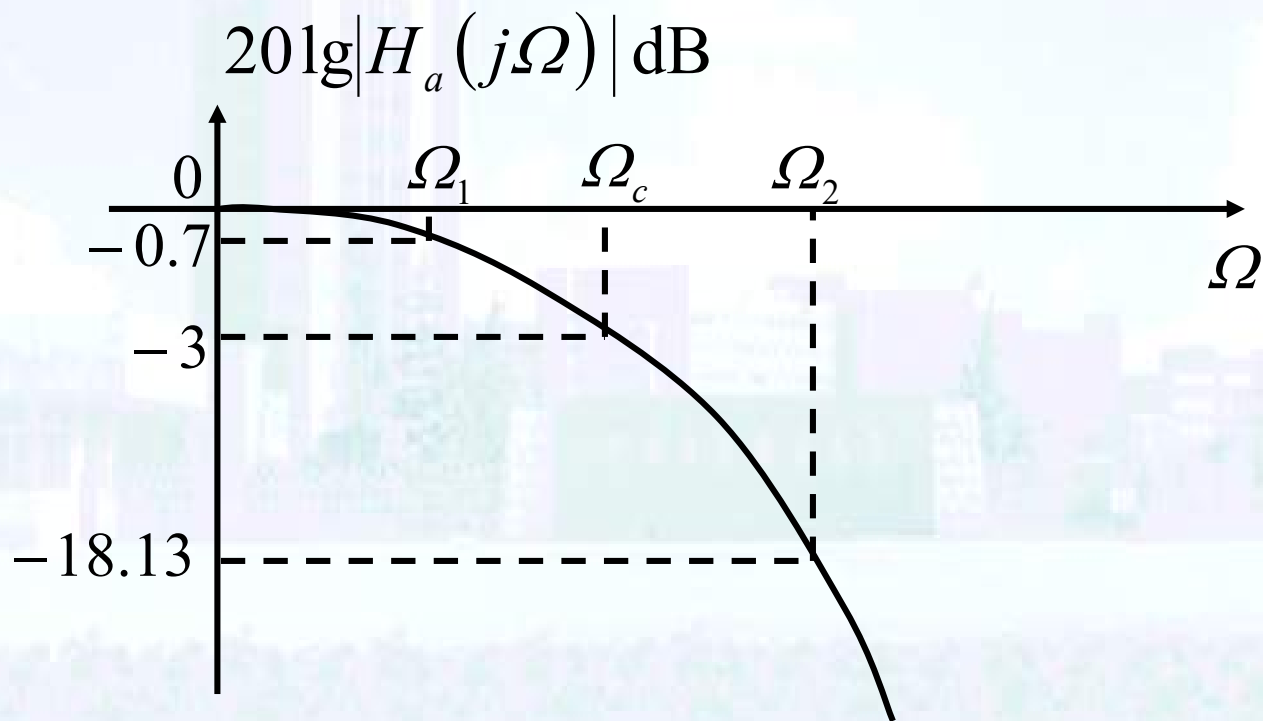
止带 $10\lg\left[1 + \left(\frac{4}{2}\right)^6\right] = 18.13 > 15$

双线性变换法设计butterworth滤波器幅度： Ω_c 的三种不同取法比较



5.4 设计实例

最后确定：
$$\begin{cases} N = 3 \\ \Omega_c = 2k \cdot 2\pi \end{cases}$$



5.4 设计实例

3) 求模拟系统函数 $H_a(s)$

$$s_1 = \Omega_c e^{j\frac{2}{3}\pi}, \quad s_2 = -\Omega_c, \quad s_3 = \Omega_c e^{-j\frac{2}{3}\pi}$$

$$H_a(s) = K_0 \cdot \frac{1}{(s - s_1)(s - s_2)(s - s_3)}$$

$$|H_a(0)| = 1 \quad \text{得} \quad K_0 = \Omega_c^3$$

$$\therefore H_a(s) = \frac{\Omega_c^3}{(s - \Omega_c e^{j\frac{2}{3}\pi})(s - \Omega_c e^{-j\frac{2}{3}\pi})(s + \Omega_c)}$$

5.4 设计实例

将 $H_a(s)$ 作部分分式展开,

一般情况
$$\prod_{i=1}^N \frac{1}{s - s_i} = \sum_{i=1}^N \frac{c_i}{s - s_i}, \quad c_i = \prod_{j \neq i} \frac{1}{s_i - s_j}$$

得:

$$H_a(s) =$$

$$\Omega_c \cdot \left[\frac{1}{s + \Omega_c} + \frac{\frac{1}{-\frac{3}{2} + j\frac{\sqrt{3}}{2}}}{s - \Omega_c(-\frac{1}{2} + j\frac{\sqrt{3}}{2})} + \frac{\frac{1}{-\frac{3}{2} - j\frac{\sqrt{3}}{2}}}{s - \Omega_c(-\frac{1}{2} - j\frac{\sqrt{3}}{2})} \right]$$

5.4 设计实例

4) 进行脉冲响应不变的变换, $H(z) =$

$$\Omega_c \cdot \left[\frac{1}{1 - z^{-1} e^{-\Omega_c T}} + \frac{1}{1 - z^{-1} e^{(-\frac{1}{2} + j\frac{\sqrt{3}}{2})\Omega_c T}} + \frac{1}{1 - z^{-1} e^{(-\frac{1}{2} - j\frac{\sqrt{3}}{2})\Omega_c T}} \right]$$

将 $\Omega_c T = \frac{2}{20} \cdot 2\pi = 0.6283$ 代入, 经过整理, 得,

$$H(z) = \Omega_c \left[\frac{1}{1 - 0.533z^{-1}} - \frac{1 - 0.843z^{-1}}{1 - 1.252z^{-1} + 0.533z^{-2}} \right]$$

5.4 设计实例

5) 对数字滤波器进行验算, $f_s=20kHz$

$$H(e^{j\omega}) = \Omega_c \cdot \left[\frac{1}{1 - 0.533e^{-j\omega}} - \frac{1 - 0.843e^{-j\omega}}{1 - 1.25e^{-j\omega} + 0.533e^{-j\omega}} \right]$$

通带 $\omega_1 = \frac{1.5}{20} \cdot 2\pi$ $20 \lg \frac{|H(e^{j0})|}{|H(e^{j\omega_1})|} = 0.70 \text{ dB} < 1 \text{ dB}$

止带 $\omega_2 = \frac{4}{20} \cdot 2\pi$ $20 \lg \frac{|H(e^{j0})|}{|H(e^{j\omega_2})|} = 18.2 \text{ dB} > 15 \text{ dB}$

二、Chebyshev滤波器

用双线性变换设计 Chebyshev 滤波器，
指标同前：

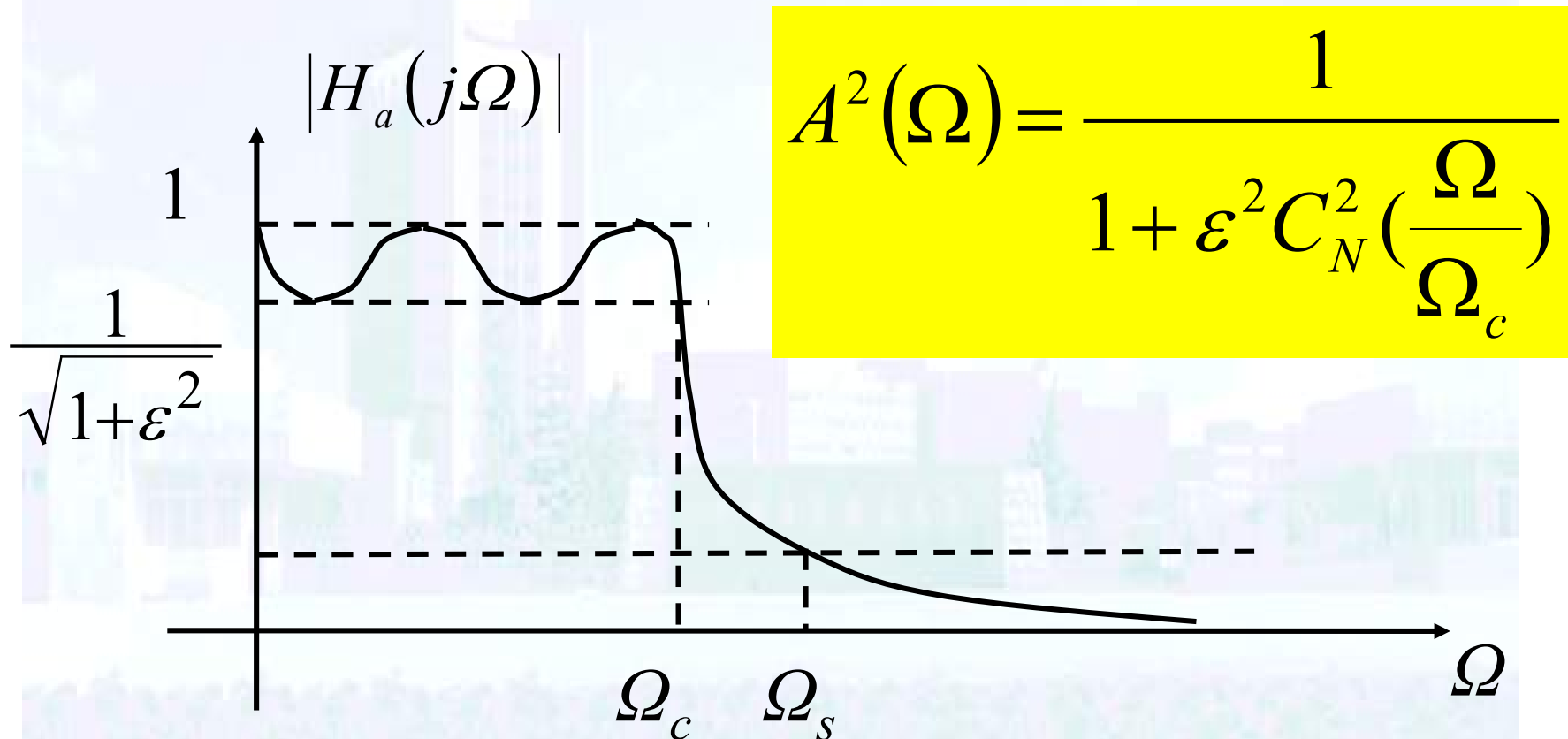
$$f_1 = 1.5 \text{ kHz} , \quad \delta_1 \leq 1 \text{ dB}$$

$$f_2 = 4 \text{ kHz} , \quad \delta_2 \geq 15 \text{ dB}$$

$$f_s = 20 \text{ kHz}$$

5.4 设计实例

I型：通带内等波纹波动，止带单调衰减



5.4 设计实例

解：1) 频率指标预畸

$$\Omega = c \cdot \operatorname{tg} \frac{\omega}{2}, \quad \text{取 } c = 1$$

$$\Omega_1 = \operatorname{tg} \frac{\omega_1}{2} \quad \omega_1 = \frac{f_1}{f_s} \cdot 2\pi = 0.15\pi$$

$$\Omega_2 = \operatorname{tg} \frac{\omega_2}{2} \quad \omega_2 = \frac{f_2}{f_s} \cdot 2\pi = 0.4\pi$$

2) 确定模型参数

$$\textcircled{1} \quad \varepsilon = (10^{\delta_1/10} - 1)^{1/2} = 0.5088$$

$$\textcircled{2} \quad \Omega_c = \Omega_1 = \operatorname{tg} \frac{\omega_1}{2}$$

5.4 设计实例

③ 试算法确定滤波器阶数 N

$$10 \lg \left[1 + \varepsilon^2 C_N^2 \left(\frac{\Omega_2}{\Omega_c} \right) \right] \geq \delta_2$$

当取 $N=2$ 时,

$$10 \lg \left[1 + \varepsilon^2 C_2^2 \left(\frac{\Omega_2}{\Omega_c} \right) \right] = 19 \text{ dB} > 15 \text{ dB}$$

满足设计要求

故, 模型参数为,

$$\begin{cases} \varepsilon = 0.5088 \\ \Omega_c = 0.240 \\ N = 2 \end{cases}$$

5.4 设计实例

3) 极点与系统函数

$$\alpha = \frac{1}{\varepsilon} + \sqrt{\frac{1}{\varepsilon^2} + 1}$$

$$a = \frac{1}{2} \left(\alpha^{\frac{1}{2}} - \alpha^{-\frac{1}{2}} \right) \quad b = \frac{1}{2} \left(\alpha^{\frac{1}{2}} + \alpha^{-\frac{1}{2}} \right)$$

$$\theta_1 = \frac{\pi}{4}, \quad \theta_2 = \frac{3\pi}{4}$$

$$S_{1,2} = \left(-a \sin \theta_1 \pm jb \cos \theta_1 \right) \Omega_c$$

5.4 设计实例

模拟滤波器 $H_a(s)$ 系统函数

$$\begin{aligned}H_a(s) &= \frac{K}{(s - s_1)(s - s_2)} \\&= \frac{K}{s^2 + 2a\Omega_c \sin \theta_1 s + (a^2 \sin^2 \theta_1 + b^2 \cos^2 \theta_1)\Omega_c} \\&= \frac{K}{s^2 + \sqrt{2}a\Omega_c s + \frac{1}{4}(\alpha + \alpha^{-1})\Omega_c^2}\end{aligned}$$

5.4 设计实例

4) 确定归一化常数 K

N 为偶数, $|H_a(j\Omega)|$ 在 $\Omega=0$ 取得最小值 $\frac{1}{\sqrt{1+\varepsilon^2}}$

$$|H_a(j0)| = \frac{K}{\frac{1}{4}(\alpha + \alpha^{-1})\Omega_c^2} = \frac{1}{\sqrt{1+\varepsilon^2}}$$

$$K = \frac{(\alpha + \alpha^{-1})\Omega_c^2}{4\sqrt{1+\varepsilon^2}} = 0.0566$$

$$H_a(s) = \frac{0.0566}{s^2 + 0.2636s + 0.06355}$$

5.4 设计实例

5) 进行双线性变换 $s = c \cdot \frac{1 - z^{-1}}{1 + z^{-1}}$

取 $c=1$ ，查表得：

$$H(z) = \frac{0.04268 (1 + 2z^{-1} + z^{-2})}{1 - 1.411z^{-1} + 0.6028z^{-2}}$$

6) 验算

$$\omega_1 = 0.15\pi \quad \text{处,} \quad -20 \lg |H(e^{j\omega_1})| = 1 \text{ dB}$$

$$\omega_2 = 0.4\pi \quad \text{处,} \quad -20 \lg |H(e^{j\omega_2})| = 19 \text{ dB}$$



5.5 IIR滤波器频域变换法

数字高通，带通，带阻滤波器设计

基本方法：

- 1) **模拟低通** \Rightarrow **数字低通，高通，带通，带阻**
- 2) 模拟低通 \Rightarrow 数字低通 \Rightarrow 数字高通，带通，带阻
- 3) 模拟低通 \Rightarrow 模拟低通，高通，带通，带阻

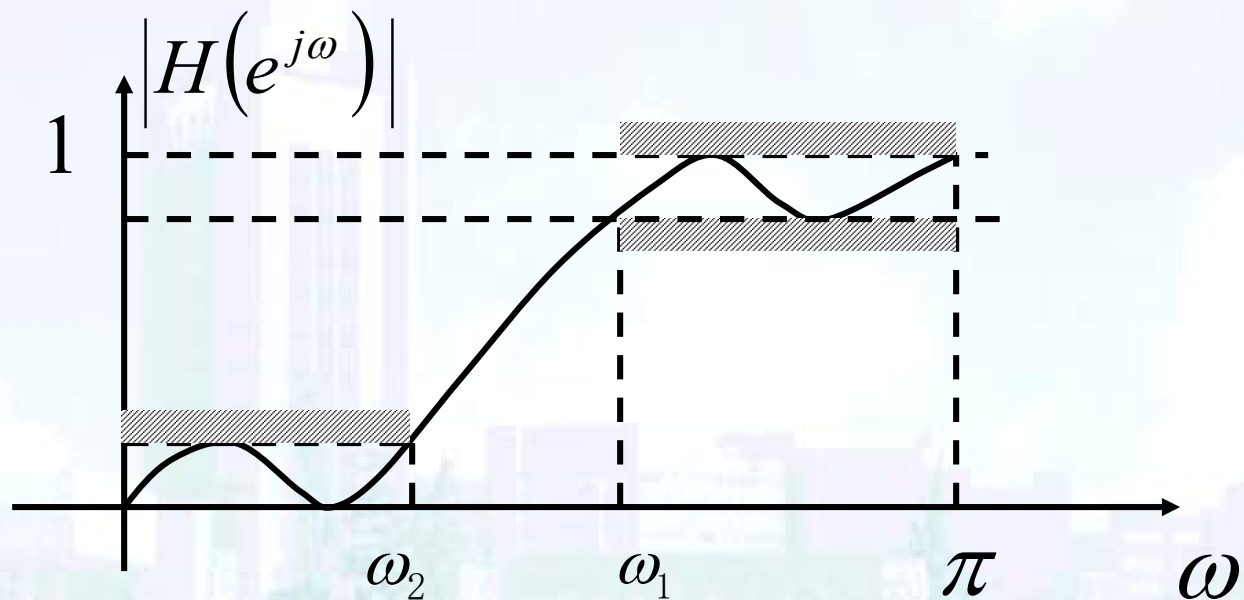
↓ ↓ ↓ ↓

数字低通，高通，带通，带阻

5.5 IIR滤波器频域变换法

一、IIR数字高通滤波器设计

1) 数字高通滤波器的幅度响应与设计规定



阻带： $0 \sim \omega_2$ ，起伏 δ_2

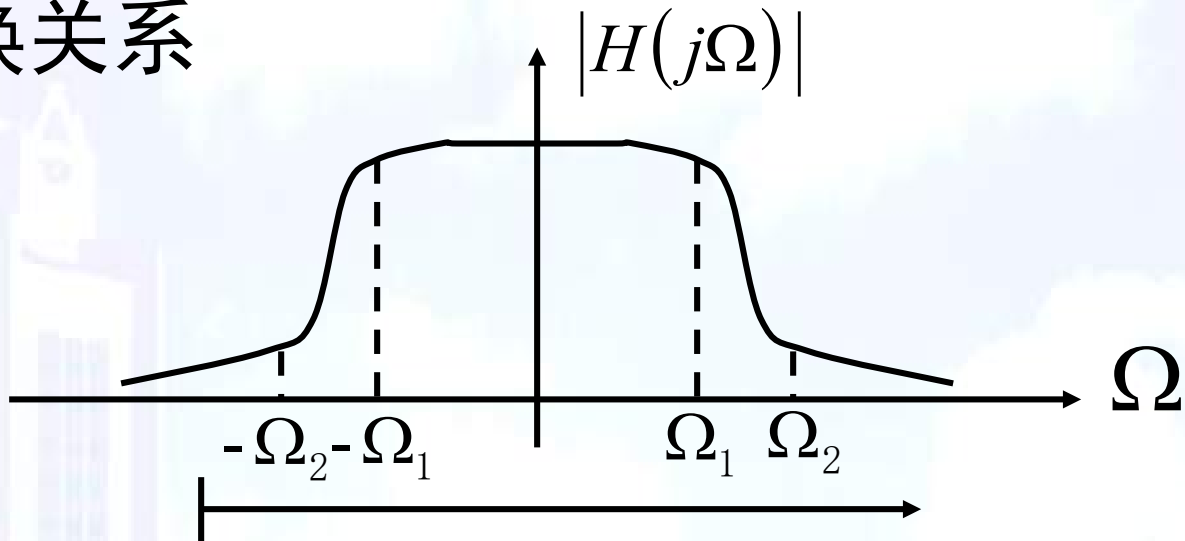
通带： $\omega_1 \sim \pi$ ，起伏 δ_1

过渡带： $\omega_2 \sim \omega_1$

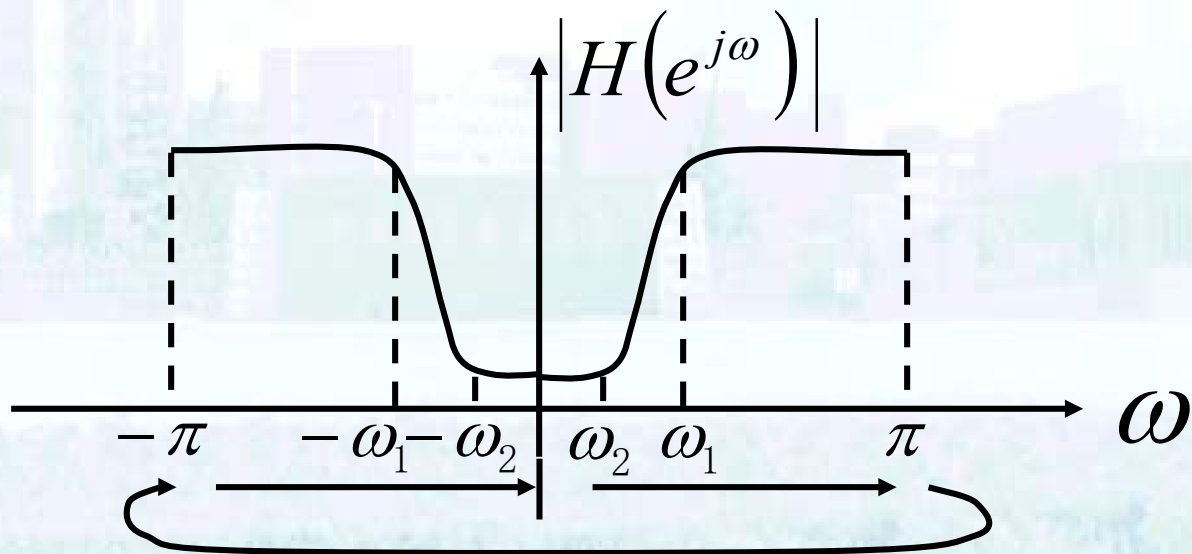
5.5 IIR滤波器频域变换法

2) 频率变换关系

模拟低通



数字高通



5.5 IIR滤波器频域变换法

模拟频率

$$-\infty \rightarrow -\Omega_2 \rightarrow -\Omega_1 \rightarrow 0 \rightarrow \Omega_1 \rightarrow \Omega_2 \rightarrow \infty$$

数字频率

$$0 \rightarrow \omega_2 \rightarrow \omega_1 \rightarrow \pi, -\pi \rightarrow -\omega_1 \rightarrow -\omega_2 \rightarrow 0$$

- S 虚轴 \Leftrightarrow Z 单位圆
- S 左半平面 \Leftrightarrow Z 单位圆内
- S 右半平面 \Leftrightarrow Z 单位圆外
- 单值映射

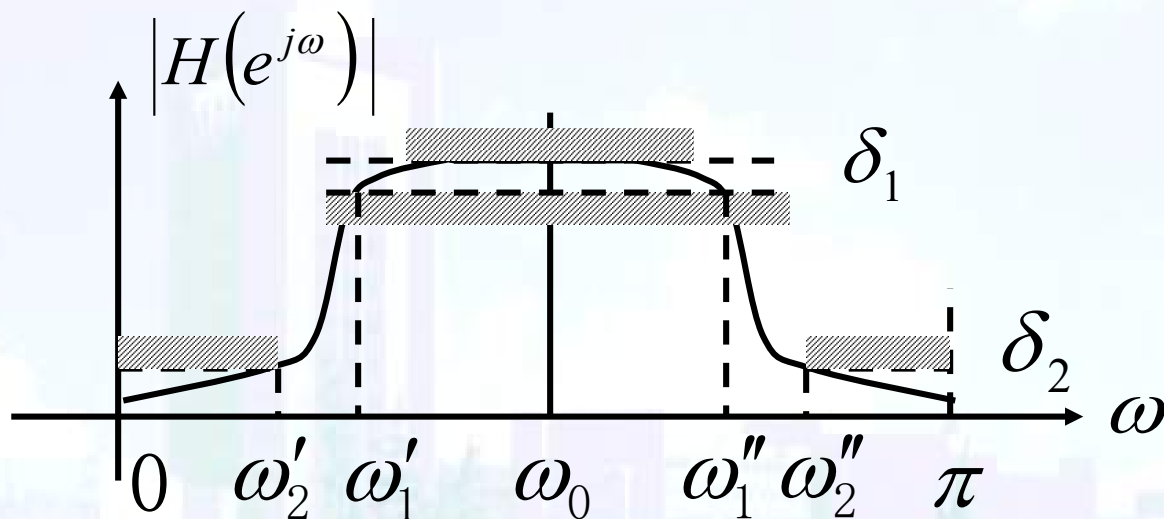
$$\left. \begin{aligned} S &= C \frac{1+z^{-1}}{1-z^{-1}} \\ \Omega &= -C \cdot \operatorname{ctg} \frac{\omega}{2} \end{aligned} \right\}$$

C 为任意正数

5.5 IIR滤波器频域变换法

二、IIR数字带通滤波器设计

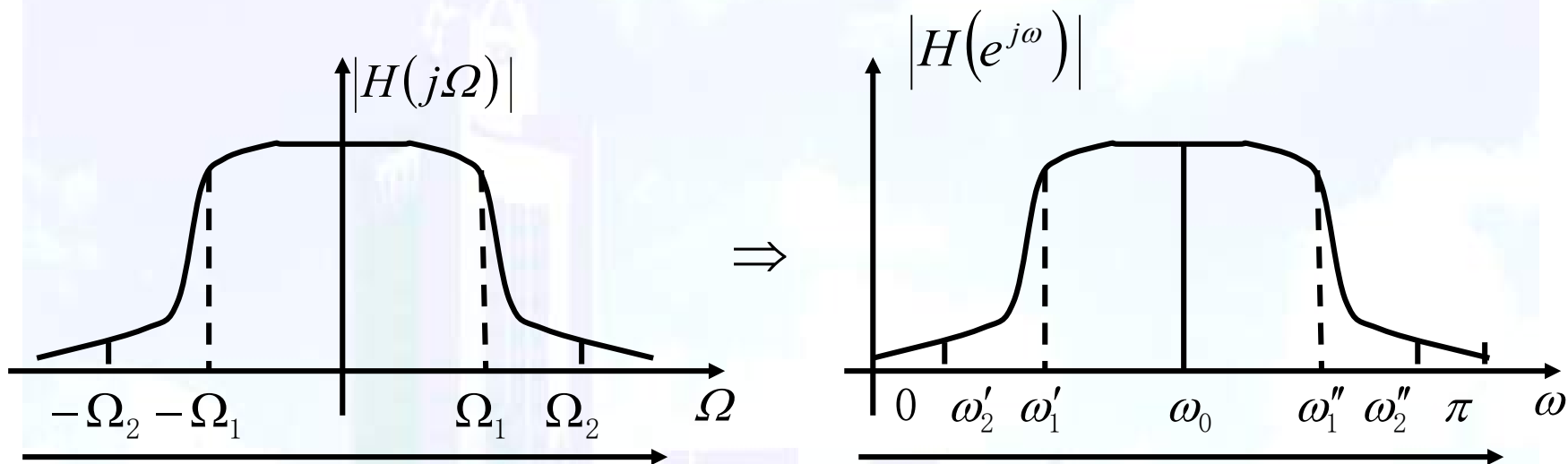
1) 数字带通的频率响应与设计规定



通带 $\omega'_1 \sim \omega''_1$ 起伏 δ_1
止带 $0 \sim \omega'_2, \omega''_2 \sim \pi$ 起伏 δ_2
中心频率 ω_0

5.5 IIR滤波器频域变换法

2) 映射关系



模拟频率 Ω : $-\infty \rightarrow -\Omega_2 \rightarrow -\Omega_1 \rightarrow 0 \rightarrow \Omega_1 \rightarrow \Omega_2 \rightarrow \infty$

数字频率 ω : $0 \rightarrow \omega'_2 \rightarrow \omega'_1 \rightarrow \omega_0 \rightarrow \omega''_1 \rightarrow \omega''_2 \rightarrow \pi$

5.5 IIR滤波器频域变换法

变换关系:

$$s = \alpha \cdot \frac{z^2 - 2\beta z + 1}{z^2 - 1}$$

$$\Omega = \alpha \cdot \frac{\beta - \cos \omega}{\sin \omega}$$

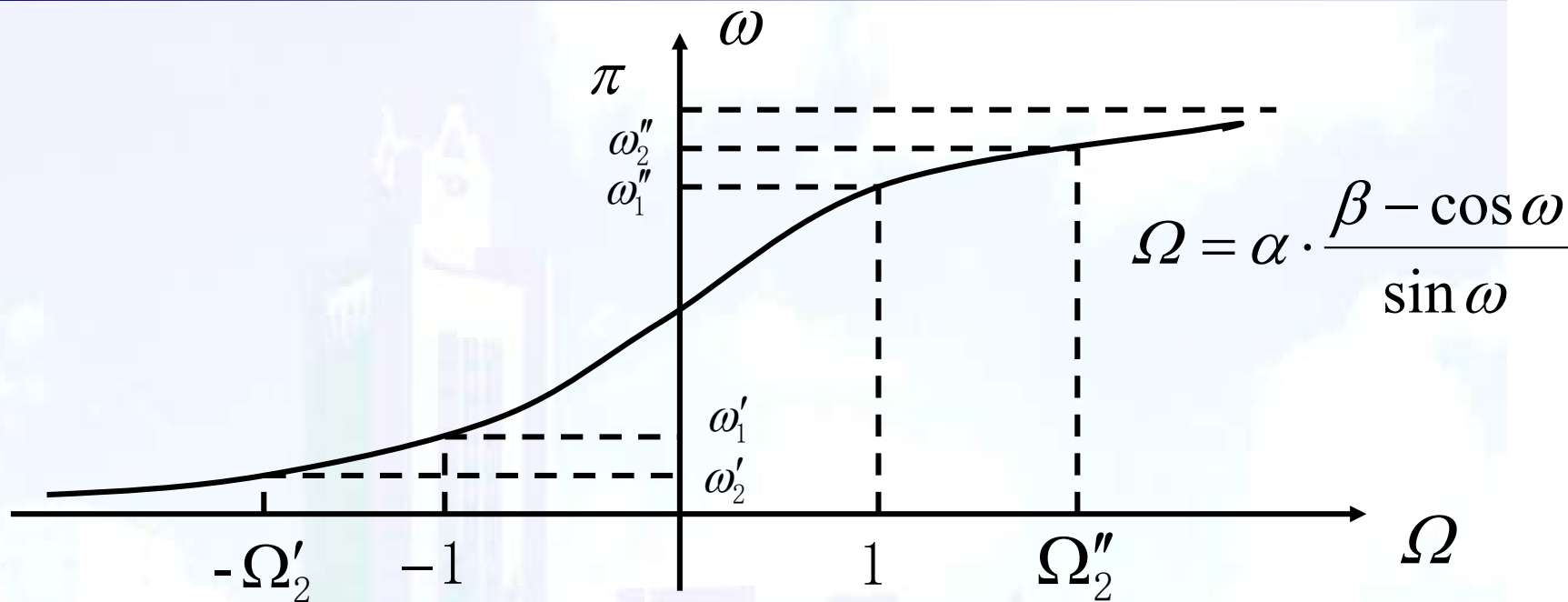
取 $\alpha = \frac{\sin \omega'_1 + \sin \omega''_1}{\cos \omega'_1 - \cos \omega''_1}$, $\beta = \frac{\sin(\omega'_1 + \omega''_1)}{\sin \omega'_1 + \sin \omega''_1}$

则

$$\omega'_1 \rightarrow -1, \quad \omega''_1 \rightarrow 1, \quad \text{即 } \Omega_1 = 1。$$

即模拟低通的带宽为1

5.5 IIR滤波器频域变换法



这样

$$-\Omega'_2 = \frac{\alpha(\beta - \cos \omega'_2)}{\sin \omega'_2} \quad \Omega''_2 = \frac{\alpha(\beta - \cos \omega''_2)}{\sin \omega''_2}$$

$$\Omega'_2 \neq \Omega''_2$$

5.5 IIR滤波器频域变换法

3) 设计步骤

① 数字带通指标,

通带: $\omega'_1 \sim \omega''_1$, 起伏 δ_1

止带: $0 \sim \omega'_2$, $\omega''_2 \sim \pi$, 起伏 δ_2

② 转换为模拟低通指标,

$$\alpha = \frac{\sin \omega'_1 + \sin \omega''_1}{\cos \omega'_1 - \cos \omega''_1}, \quad \beta = \frac{\sin(\omega'_1 + \omega''_1)}{\sin \omega'_1 + \sin \omega''_1}$$

$$\Omega_2 = \min \left\{ -\frac{\alpha(\beta - \cos \omega'_2)}{\sin \omega'_2}, \frac{\alpha(\beta - \cos \omega''_2)}{\sin \omega''_2} \right\}$$
$$\Omega_1 = 1$$

5.5 IIR滤波器频域变换法

则 通带 $0 \sim 1$, δ_1 ,
止带 $\Omega_2 \sim \infty$, δ_2 。

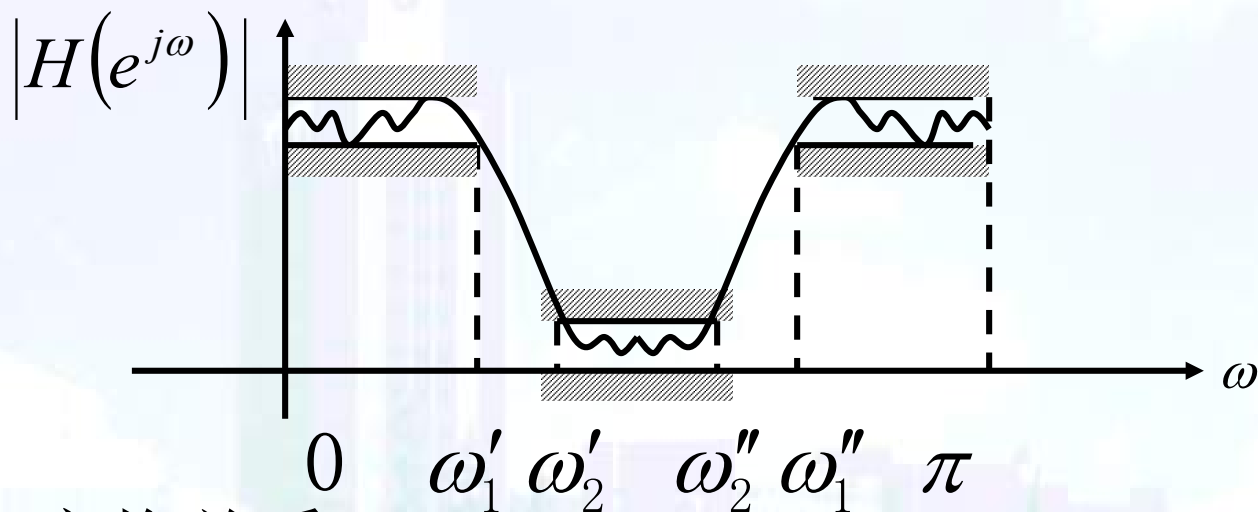
③ 设计 $H_a(s)$, Butterworth, Chebyshev, ...

④ 变换 $H(z) = H_a(s) \Big|_{s=\alpha \cdot \frac{z^2 - 2\beta z + 1}{z^2 - 1}}$

5.5 IIR滤波器频域变换法

三、IIR数字带阻滤波器设计

1) 数字带阻的设计规定



2) 变换关系

映射关系类似带通，频率走向不同

$$s = \frac{z^2 - 1}{\alpha(z^2 - 2\beta z + 1)}$$

$$\Omega = \frac{\sin \omega}{\alpha(\beta - \cos \omega)}$$

5.5 IIR滤波器频域变换法

$$\text{取 } \alpha = \frac{\sin \omega'_1 + \sin \omega''_1}{\cos \omega'_1 - \cos \omega''_1}, \quad \beta = \frac{\sin(\omega'_1 + \omega''_1)}{\sin \omega'_1 + \sin \omega''_1}$$

此时, $\Omega_1 = 1$

$$\Omega_2 = \min \left\{ \frac{\sin \omega'_2}{\alpha(\beta - \cos \omega'_2)}, \frac{\sin \omega''_2}{\alpha(\beta - \cos \omega''_2)} \right\}$$

3) 设计步骤

同数字带通



5.6 IIR滤波器的直接设计

5.6 IIR滤波器的直接设计

- 时域逼近：采用数值计算方法构造系统函数，使 $h(n)$ 接近要求
- 频域逼近：采用数值计算方法构造系统函数，使幅频或相频特性接近要求
- 选择零极点位置构造系统函数，使幅频特性接近要求

5.6 IIR滤波器的直接设计

一、时域逼近法（Pada逼近法）

给定一个有限长冲激响应序列，

$$h_d(n), \quad n = 0, 1, \dots, L-1$$

设计的IIR滤波器，冲激响应 $\{h(n)\}$ 与之均方误差最小

$$F = \sum_{n=0}^{L-1} [h(n) - h_d(n)]^2 \rightarrow \min$$

对因果系统

$$H(z) = \sum_{n=0}^{\infty} h(n)z^{-n} = \frac{\sum_{r=0}^M b_r z^{-r}}{1 - \sum_{k=1}^N a_k z^{-k}}$$

5.6 IIR滤波器的直接设计

用系统函数 $H(z)$ 的参数表达 $h(n)$,

$$h(n) = f(a_1, \dots, a_N, b_0, \dots, b_M, n)$$

上述误差函数表达为:

$$F = \sum_{n=0}^{L-1} \left\{ f(a_1, \dots, a_N, b_0, \dots, b_M, n) - h_d(n) \right\}^2$$

滤波器设计: 关于函数 F 的最小值问题

最小值求解: 近似解法

5.6 IIR滤波器的直接设计

把 $h(n)$ 当作有限长处理，并取

$$h(n) = \begin{cases} h_d(n) & 0 \leq n \leq L-1 \\ 0 & n > L \end{cases}$$

即

$$\frac{\sum_{r=0}^M b_r z^{-r}}{1 - \sum_{k=1}^N a_k z^{-k}} \approx \sum_{n=0}^{L-1} h_d(n) z^{-n}$$

5.6 IIR滤波器的直接设计

$$\sum_{r=0}^M b_r z^{-r} = \left(\sum_{n=0}^{L-1} h_d(n) z^{-n} \right) \left(1 - \sum_{k=1}^N a_k z^{-k} \right)$$

比较系数，取前 L 个方程

$$h_d(n) = b_n + \sum_{k=1}^N a_k h_d(n-k) \quad 0 \leq n \leq M$$

$$h_d(n) = \sum_{k=1}^N a_k h_d(n-k) \quad M+1 \leq n \leq L-1$$

5.6 IIR滤波器的直接设计

后一方程组有 $L-M-1$ 个方程， L 一般总能满足

$$L \geq M + N + 1$$

$\therefore L - M - 1 \geq N$ ，超定方程组，

最小二乘法求解，

$$E = \sum_{n=M+1}^{L-1} \left[h_d(n) - \sum_{k=1}^N a_k h_d(n-k) \right]^2 \Rightarrow \min$$

$$\frac{\partial E}{\partial a_k} = 0, \quad k = 1, \dots, N$$

5.6 IIR滤波器的直接设计

解线性方程组，得 $\{\hat{a}_k, k=1, 2, \dots, N\}$

代入第一方程组，求出 $\{\hat{b}_r, r=0, 1, \dots, M\}$

则确定

$$H(z) = \frac{\sum_{r=0}^M \hat{b}_r z^{-r}}{1 - \sum_{k=1}^N \hat{a}_k z^{-k}}$$

近似分析：无限长冲激响应滤波器用有限长冲激响应序列来表示

5.6 IIR滤波器的直接设计

二、频域逼近（最小 P 误差法）

给定一组希望的幅度响应值

$$\left\{ \left| H_d \left(e^{j\omega_i} \right) \right|, \quad i = 1, 2, \dots, M \right\}$$

构造系统函数 $H(z)$ ，使

$$F = \sum_{i=1}^M W(\omega_i) \left[\left| H \left(e^{j\omega_i} \right) \right| - \left| H_d \left(e^{j\omega_i} \right) \right| \right]^{2p} \rightarrow \min$$

$p \geq 1$ ， $W(\omega_i)$ 为加权函数

5.6 IIR滤波器的直接设计

系统函数形式： 2阶系统的级联
有理形式或极坐标形式

$$H(z) = A \cdot \prod_{k=1}^M \frac{1 + a_k z^{-1} + b_k z^{-2}}{1 + c_k z^{-1} + d_k z^{-2}}$$

或

$$H(z) = A \cdot \prod_{k=1}^M \frac{(z - r_{ok} e^{j\theta_{ok}})(z - r_{ok} e^{-j\theta_{ok}})}{(z - r_{pk} e^{j\theta_{pk}})(z - r_{pk} e^{-j\theta_{pk}})}$$

5.6 IIR滤波器的直接设计

F 是参数 $\{a_k, b_k, c_k, d_k, k = 1, \dots, M\}$

或 $\{r_{ok}, \theta_{ok}, r_{pk}, \theta_{pk}, k = 1, \dots, M\}$

的多变量非线性函数

目标：调整上述参数使 $F \rightarrow \min$

数值解法：Fletcher – Powell 算法

5.6 IIR滤波器的直接设计

将 $4M$ 个参数统一表达为

$$\bar{\Phi} = [\theta_1, \theta_2, \dots, \theta_{4M}]^T$$

求得一组 $\bar{\Phi}^*$, 使 $F\{\bar{\Phi}^*\} \rightarrow \min$

5.6 IIR滤波器的直接设计

算法流程

$$\vec{\Phi}^{(j)} \leftarrow \left[\frac{\partial F^{(j)}}{\partial \theta_1}, \frac{\partial F^{(j)}}{\partial \theta_2}, \dots, \frac{\partial F^{(j)}}{\partial \theta_{4M}} \right]^T$$

$$\Delta \vec{\Phi}^{(j)} = -\mu \nabla F^{(j)}$$

$$\vec{\Phi}^{(j+1)} = \vec{\Phi}^{(j)} + \Delta \vec{\Phi}^{(j)}$$

$$F(\vec{\Phi}^{j+1}) \leq \varepsilon$$



5.6 IIR滤波器的直接设计

三、全通滤波器 $|H(e^{j\omega})| = K, \quad 0 \leq \omega \leq \pi,$

2阶全通,
$$H(z) = \frac{c_2 z^2 + c_1 z + 1}{z^2 + c_1 z + c_2}$$

N 阶全通,
$$H(z) = K \cdot \frac{z^{-N} Q(z^{-1})}{Q(z)}$$

$$Q(z) = 1 + a_1 z^{-1} + a_2 z^{-2} + \dots + a_N z^{-N}$$

或
$$H(z) = K \prod_{k=1}^K \frac{c_{2k} z^2 + c_{1k} z + 1}{z^2 + c_{1k} z + c_{2k}}$$

5.6 IIR滤波器的直接设计

全通相位补偿

$H_D(z)$ 为满足幅度特性的滤波器，设计全通相均衡器 $H_E(z)$ ，

$$\text{则 } H(z) = H_D(z)H_E(z)$$

$$H(e^{j\omega}) = |H_D(e^{j\omega})| \cdot e^{j\varphi_D(\omega)} \cdot |H_E(e^{j\omega})| \cdot e^{j\varphi_E(\omega)}$$

$$|H(e^{j\omega})| = |H_D(e^{j\omega})|$$

$$\varphi(\omega) = \varphi_D(\omega) + \varphi_E(\omega)$$

5.6 IIR滤波器的直接设计

用群延迟表示： $\tau(\omega) = \tau_D(\omega) + \tau_E(\omega)$

群延迟定义： $\tau(\omega) = -\frac{d\varphi(\omega)}{d\omega}$

$$\tau_D(\omega) = -\frac{d\varphi_D(\omega)}{d\omega}, \quad \tau_E(\omega) = -\frac{d\varphi_E(\omega)}{d\omega}$$

线性相位系统群延迟为常数 τ_0 ，设计 $H_E(z)$ 使

$$\tau_E(\omega) = \tau_0 - \tau_D(\omega)$$

5.6 IIR滤波器的直接设计

相位特性逼近

给定 $\tau_d(\omega_i)$, $i = 1, 2, \dots, M$,

定义目标函数

$$F = \sum_{i=1}^M W(\omega_i) [\tau(\omega_i) - \tau_d(\omega_i)]^{2p} \quad p \geq 1$$

5.6 IIR滤波器的直接设计

可以证明，

$$\tau(\omega) = -\operatorname{Re} \left[\frac{z}{H(z)} \cdot \frac{dH(z)}{dz} \right] \Bigg|_{z = e^{j\omega}}$$

这样， F 表达为系统参数的函数，

$$F = f(\theta_1, \theta_2, \dots, \theta_k)$$

用 Fletcher – Powell 优化算法求解

5.6 IIR滤波器的直接设计

四、零极点位置累试法

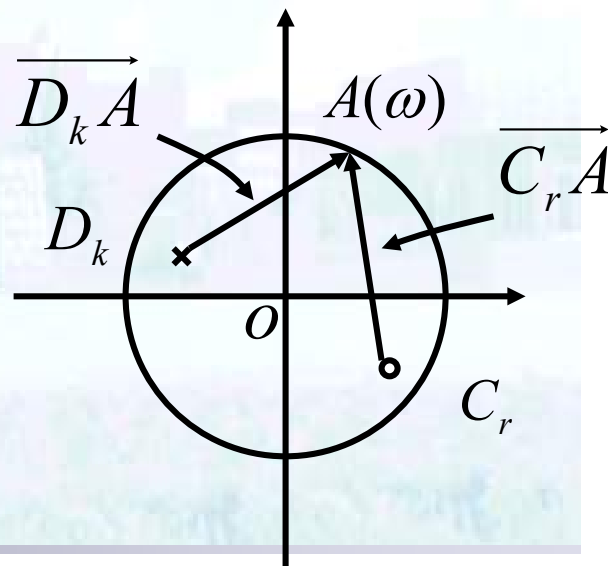
系统函数用零极点表达，

$$H(z) = P \cdot \frac{\prod_{r=1}^M (1 - c_r z^{-1})}{\prod_{k=1}^N (1 - d_k z^{-1})}$$

M 个零点： $c_r, r = 1, \dots, M$
 N 个极点： $d_k, k = 1, \dots, N$

幅度响应

$$\left| H(e^{j\omega}) \right| = P \cdot \frac{\prod_{r=1}^M \left| \overrightarrow{C_r A(\omega)} \right|}{\prod_{k=1}^N \left| \overrightarrow{D_k A(\omega)} \right|}$$



零极点安排的基本原则

- 极点靠近单位圆：输出大，衰耗小
- 零点靠近单位圆：输出小，衰耗大
- 极点在单位圆内，零点一般不受限制
- 所有复数极点和零点分别构成各自的共轭对

5.6 IIR滤波器的直接设计

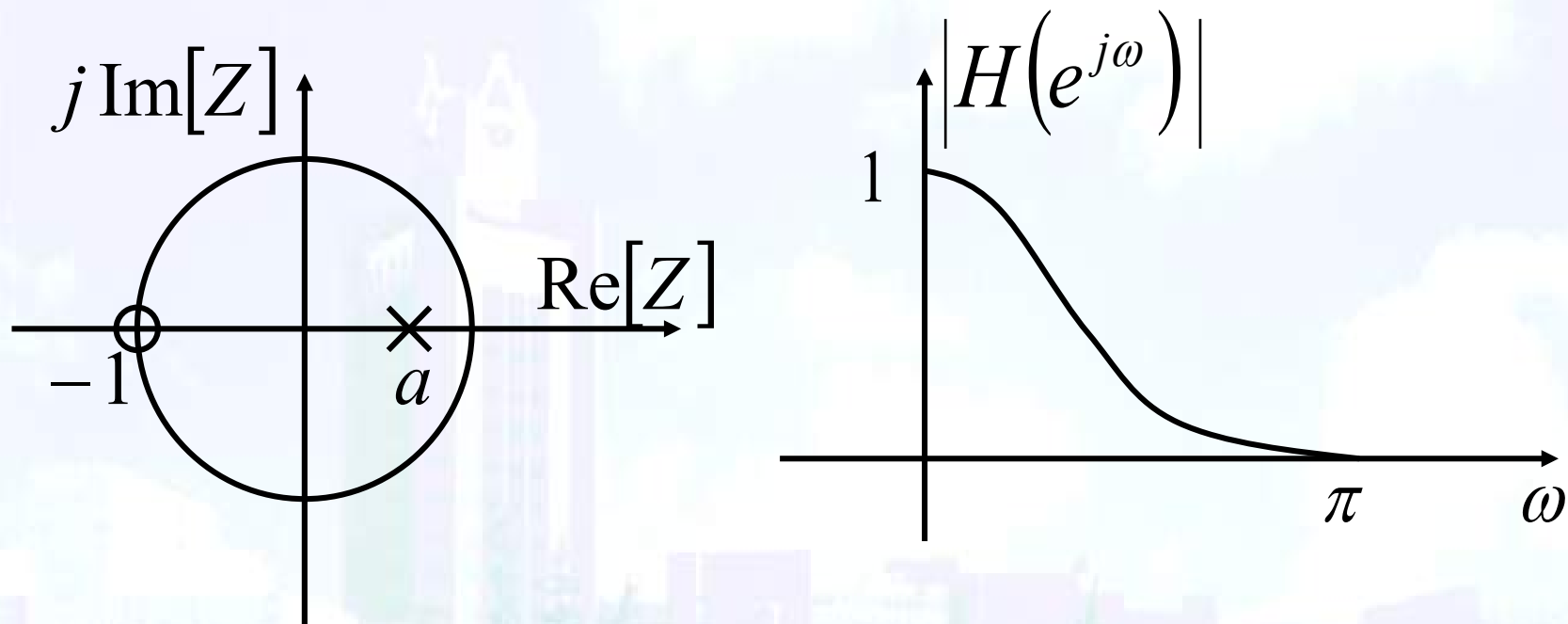
单极点低通

极点：低频($\omega=0$), 靠近单位圆 $z=a$

零点：高频($\omega=\pi$), 单位圆上 $z=-1$

$$H(z) = G \cdot \frac{1 + z^{-1}}{1 - az^{-1}} \quad 0 < a < 1$$

5.6 IIR滤波器的直接设计



归一化常数 $G = \frac{1-a}{2}$, $|H(e^{j0})| = 1$

5.6 IIR滤波器的直接设计

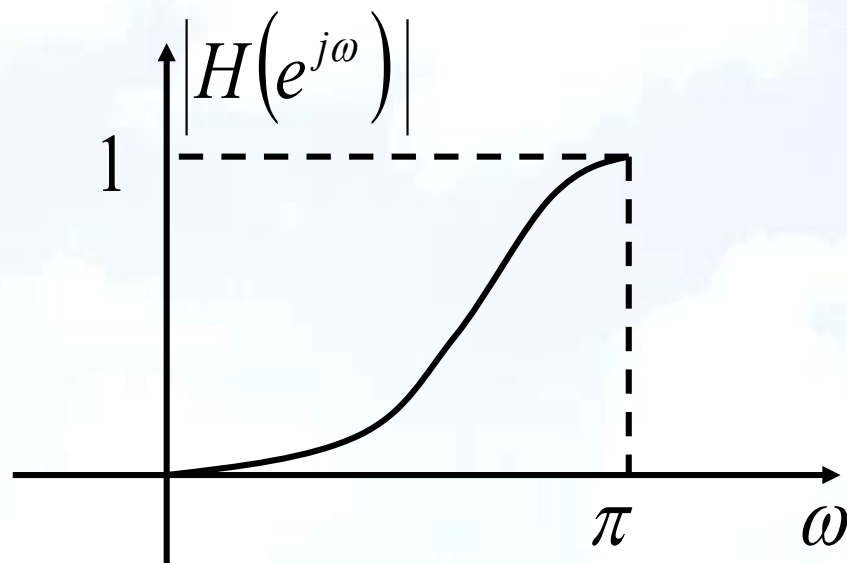
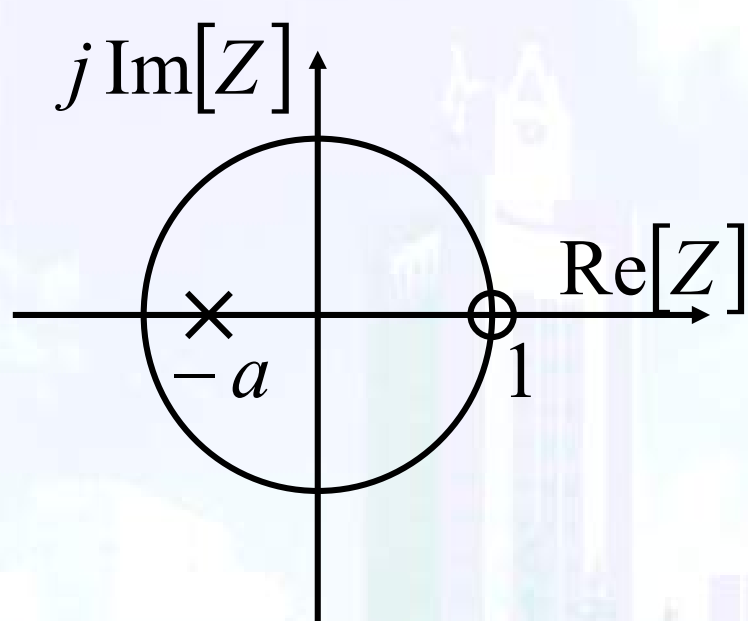
单极点高通

极点：低频($\omega=\pi$), 靠近单位圆 $z=-a$

零点：高频($\omega=0$), 单位圆上 $z=1$

$$H(z) = G \cdot \frac{1 - z^{-1}}{1 + az^{-1}}$$

5.6 IIR滤波器的直接设计



归一化常数 $G = \frac{1-a}{2}$, $|H(e^{j\pi})| = 1$

5.6 IIR滤波器的直接设计

双极点带通，中心频率 ω_0

极点：通带中心频率 ω_0 上，靠近单位圆的共轭对

零点：频率高低端($\omega=0$, $\omega=\pi$)单位圆上

$$\begin{aligned} H(z) &= G \cdot \frac{z^2 - 1}{(z - re^{j\omega_0})(z - re^{-j\omega_0})} \\ &= G \cdot \frac{z^2 - 1}{z^2 - 2r \cos \omega_0 z + r^2} \end{aligned}$$

5.6 IIR滤波器的直接设计

若 $\omega_0 = \frac{\pi}{2}$

则 $H(z) = G \cdot \frac{z^2 - 1}{z^2 + r^2}$

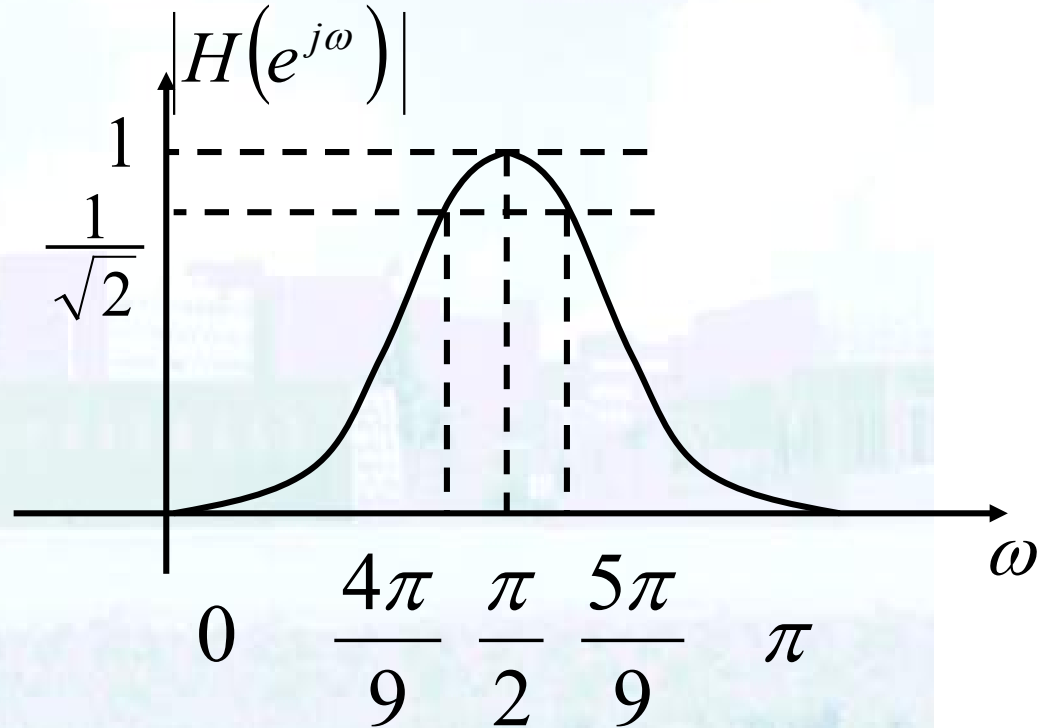
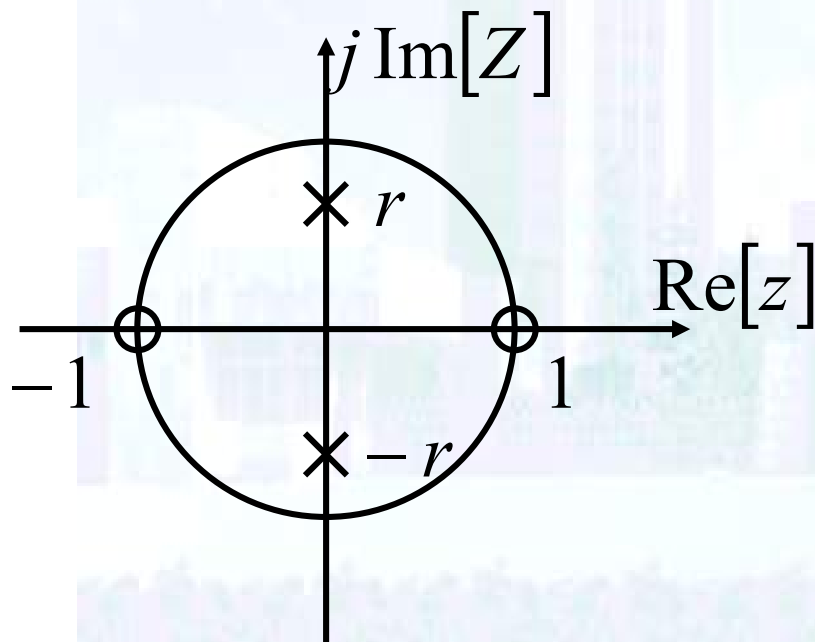
$$\left| H(e^{j\frac{\pi}{2}}) \right| = 1 \quad \Rightarrow \quad G = \frac{1 - r^2}{2}$$

若 3dB 带宽为 $\frac{\pi}{9}$ ，则

$$\left| H(e^{j\frac{4\pi}{9}}) \right| = \frac{1}{\sqrt{2}} \quad \Rightarrow \quad r = 0.8366$$

5.6 IIR滤波器的直接设计

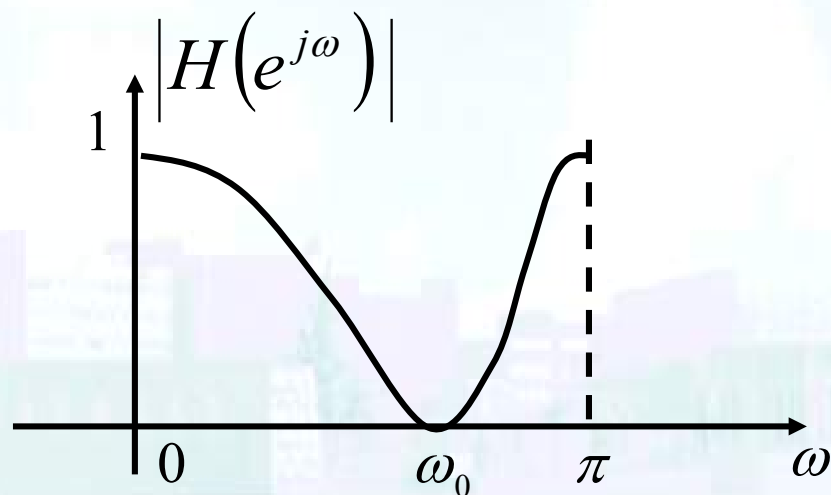
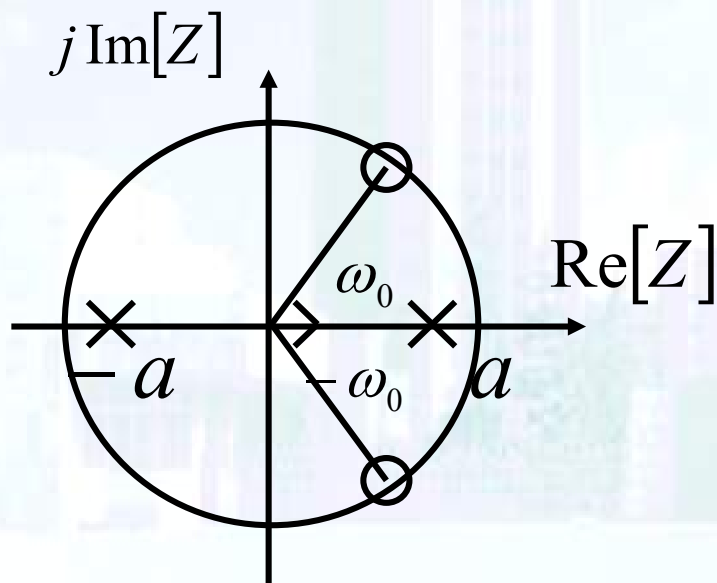
$$H(z) = 0.15 \cdot \frac{1 - z^{-2}}{1 + 0.7z^{-2}}$$



5.6 IIR滤波器的直接设计

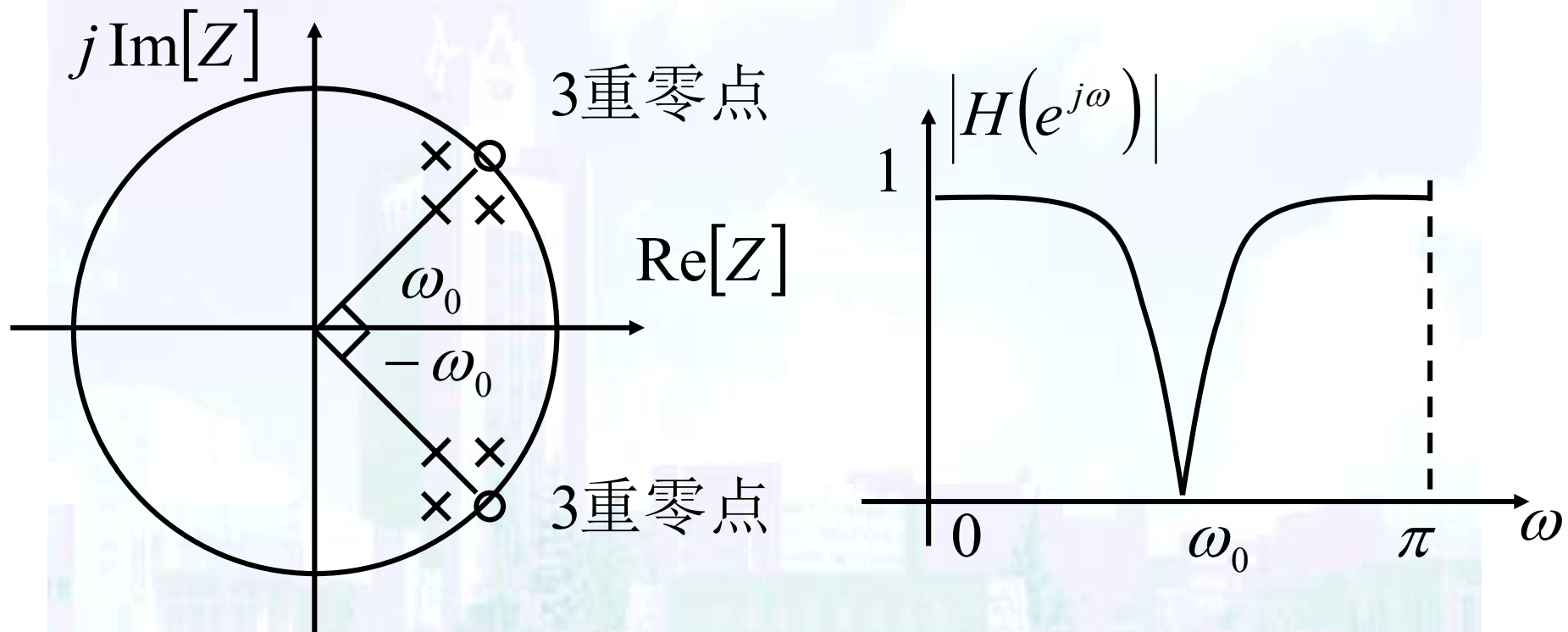
双极点带阻，中心频率 ω_0

$$H(z) = G \cdot \frac{z^2 - 2z \cos \omega_0 + 1}{z^2 - a^2}$$



如果极点安排靠近零点，则可以形成点阻滤波器

5.6 IIR滤波器的直接设计



$$H(z) = H_1(z)H_2(z)H_3(z)$$

5.6 IIR滤波器的直接设计

$$H_i(z) = \frac{(1 - e^{j\omega_0} z^{-1})(1 - e^{-j\omega_0} z^{-1})}{(1 - p_i z^{-1})(1 - p_i^* z^{-1})}$$

$$p_i = e^{j\omega_0} - \Delta e^{j(\omega_0 + \varphi_i)}$$

$$\varphi_i = \begin{cases} -\theta & i = 1 \\ 0 & i = 2 \\ \theta & i = 3 \end{cases}$$